

文章编号: 1000-0550 (2025) 05-0000-00

川中古隆起灯影组多期盐水成岩流体活动与成储意义

文华国^{1, 2, 3}, 罗连超^{1, 2, 3}, 丁一^{1, 2, 3}, 张晨^{1, 2, 3}

1.油气藏地质及开发工程全国重点实验室(成都理工大学), 成都 610059

2.自然资源部深时地理环境重建与应用重点实验室(成都理工大学), 成都 610059

3.成都理工大学沉积地质研究院, 成都 610059

摘要 【目的】孔隙流体(尤其是盐水流体)在沉积盆地内广泛存在,但其特征在埋藏过程中持续演变,这种动态演化深刻影响着深层—超深层油气储层的形成与改造,因此厘清其演化对揭示深层—超深层油气储层成因机制意义重大。【方法】以川中古隆起灯影组为研究对象,系统汇编了盐水流体活动主要产物的碳—氧—锶—团簇同位素以及U-Pb年代学数据,开展了盐水流体活动主要产物成因、流体充注期次和成储意义研究。【结果】研究区灯影组发育五类主要盐水流体活动产物:基质白云石(D1)、纤维状或泥—粉晶白云石(D2)、叶片状或细晶白云石(D3)、中—粗晶白云石(D4)、鞍状或巨晶白云石(D5),并显示出差差异性的 $\delta^{13}\text{C}$ 、 $\delta^{18}\text{O}$ 、 $^{87}\text{Sr}/^{86}\text{Sr}$ 、T(δ_{47})和U-Pb年龄特征,分别对应五期盐水流体活动。【结论】五类白云石的演化序列表现为:D1(正常海水白云石化) \rightarrow D2(早成岩期孔隙水胶结/白云石化) \rightarrow D3(埋藏溶解再沉淀) \rightarrow D4(热液混合沉淀) \rightarrow D5(深部放射性热液充注)。早期盐水流体活动通过白云石化(与胶结作用)增强储层抗压实—压溶能力;中晚期流体活动则形成大量胶结物劣化储层储集性能,因此盐水流体活动通过两阶段差异化成岩作用影响储层演化。研究成果将为揭示深层—超深层油气储层形成机制提供支撑。

关键词 成岩流体; 成岩演化; 白云石; 成储效应; 深层—超深层油气储层

第一作者简介 文华国,男,1979年出生,博士,教授,碳酸盐岩沉积学与储层沉积学,E-mail:wenhuagu08@cdut.edu.cn

中图分类号 P618.13 文献标志码 A

DOI: 10.14027/j.issn.1000-0550.2025.044

CSTR: 32268.14/j.cjxb.62-1038.2025.044

0 引言

深层—超深层油气勘探是中国深地探测战略实施的关键领域,也是国家能源安全保障体系的重要支撑^[1-4]。四川盆地是我国深层—超深层油气勘探的主战场之一,也是我国最早开展超深层油气勘探实践的区域^[1]。近年来,四川盆地的深层—超深层油气勘探取得了丰硕成果,相继发现了多个大型深层—超深层油气田,如蓬莱气田、高石梯龙王庙组大气田、元坝长兴组礁滩气田等^[2-3,5-8],这些发现表明四川盆地的超深层油气勘探具有巨大潜力。四川盆地埃迪卡拉系灯影组主要由一套含藻白云岩组成,具有时代老、埋藏深的显著特征,是四川

收稿日期: 2025-06-24; 收修改稿日期: 2025-08-21

基金项目: 四川省天然气成藏物质基础青年科技创新团队基金项目(2022JDTD0004) [Foundation: Youth Science and Technology Innovation Team Fund Project of Natural Gas Reservoir Material Foundation, Sichuan Province, No.2022JDTD0004]

盆地深层—超深层油气勘探的重要层位；但是，受四川盆地多旋回构造演化的影响^[9]，灯影组白云岩储层遭受了强烈的后期改造，这种改造极大地增强了储层非均质性，加大了储层预测与评价的挑战性，但也为深层—超深层白云岩储层发育机理研究提供了良好的研究对象。

对于大多数沉积盆地而言，其地层系统内约 20% 空间都被孔隙流体所占据^[10-11]。常见的孔隙流体包括水、液态烃、天然气以及它们的混合流体，但普遍而言，沉积盆地内的孔隙流体主要以水为主^[12]。海相沉积盆地内的孔隙水的来源多样，但主要以海水、大气水、结晶水（矿物脱水释放的水）、初生水（岩浆热液）为主^[12-13]。孔隙水的盐度普遍接近或高于海水盐度，表现为典型的盐水特征^[11,14]。但是，在沉积物的埋藏过程中，孔隙水的特征与组成受水—岩作用、温压变化、多源流体混合等影响而不断演化^[12]。这种动态演化的孔隙流体对储层的改造作用不可忽视，尤其是对于深层—超深层地层而言，其沉积时代老、地层埋藏深、构造演化复杂等内在属性导致沉积盆地内盐水流体活动可能具有多期次、区域差异性、成分复杂性、流体来源多元性等特征。因此，对深层—超深层储层内盐水流体活动和演化的研究是揭示深层—超深层油气储层形成机制的关键环节之一。

鉴于此，本研究以川中古隆起埃迪卡拉系灯影组为主要研究对象，在汇总前人矿物学、碳—氧—锶同位素地球化学、团簇同位素、白云石 U-Pb 年代学数据的基础上，系统开展了灯影组的盐水流体活动主要产物成因、盐水流体充注期次和成储意义研究。相关研究成果有望深化对深层—超深层白云岩储层形成与演化机制的理解，为深层—超深层油气勘探与开发提供地质依据。

1 地质背景



川中古隆起位于四川盆地中西部，属于加里东期古隆起。该隆起构造隶属于乐山—龙女寺继承性古隆起体系，基底由前震旦系变质岩和火成岩构成，具有强抗变形特征，整体表现为由西南向东北倾伏的鼻状隆起，轴线呈 NE—SW 向展布，核部位于雅安—资阳—岳池一线^[5,15-16]。川中古隆起构造演化历经多期叠加：埃迪卡拉纪—早古生代受桐湾运动 I 幕（灯二段末期）和 II 幕（灯四段末期）影响，灯影组顶部发生区域性抬升剥蚀，形成溶沟、溶洞及葡萄状白云岩^[17]，同时德阳—安岳凹槽呈“U”形发育，控制台缘丘滩相分异；加里东运动导致奥陶系—志留系普遍缺失，古隆起初步定型；印支期构造轴线向东南迁移，形成威远—资阳古圈闭；喜马拉雅期受印度板块碰撞影响，轴线南移至威远—高石梯地区，核部埋深增至 5 000 m，最终定型为北倾单斜低缓褶皱带^[15,18-19]。

四川盆地埃迪卡拉系灯影组厚 300~1 200 m，自下而上划分为四段：灯一段以深灰色泥

粉晶白云岩为主，夹薄层石膏岩及泥质条带，属局限台地潮坪相沉积；灯二段为台缘丘滩相富藻白云岩段，发育藻黏结岩、凝块岩及葡萄花边构造，顶部受桐湾Ⅰ幕岩溶作用改造，溶蚀孔洞缝网络广泛发育；灯三段以深灰色泥页岩和砂质白云岩为主，横向相变为凹槽西侧陆棚相暗色页岩与东侧潮间带泥质白云岩，局部含有机质丰度达1.5%~3.0%的烃源岩；灯四段以浅灰色纹层状藻叠层白云岩为特征，顶部受桐湾Ⅱ幕岩溶作用形成溶洞角砾及硅质条带^[18,20-22]。四川盆地内部灯影组沉积格局受德阳—安岳凹槽控制，凹槽东西两侧发育多期叠置的台缘丘滩复合体，凹槽北段发育大套深水相泥页岩、硅质岩、泥晶白云岩等，凹槽南段则表现为明显的地层侵蚀^[23-25]（图1）。德阳—安岳凹槽南段纵贯川中古隆起，并可将川中古隆起的灯影组划分为凹槽东侧隆起带、凹槽内隆起带和凹槽西侧隆起带三个部分。目前已发现的多个灯影组气田都位于凹槽东侧隆起带和凹槽西侧隆起带内。

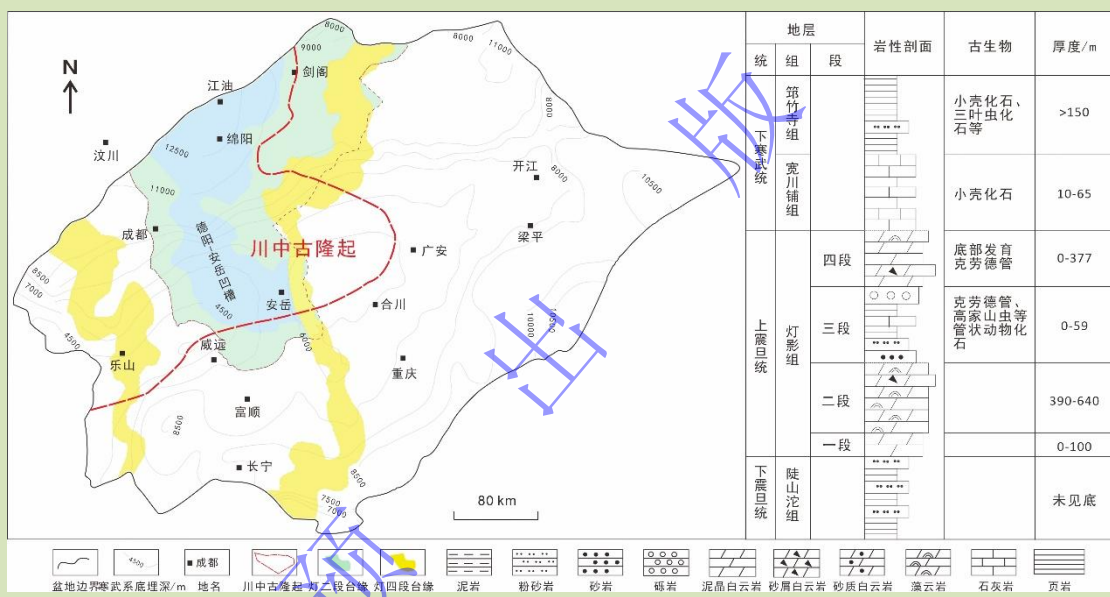
图1 川中古隆起分布位置与灯影组合带分布^[26-27]

Fig.1 Location of the central-Sichuan paleo-uplift and the platform margin distribution of the Ediacaran Dengying Formation^[26-27]

2 数据汇编

为厘清川中古隆起埃迪卡拉系灯影组沉积期以来的盐水流体活动，本研究对前人研究数据^[15,19,28-51]进行了分类汇总，并建立地球化学与年代学数据库。数据库主要包括白云石稳定碳—氧同位素数据384对、白云石 $^{87}\text{Sr}/^{86}\text{Sr}$ 数据157个、白云石团簇同位素数据47个、白云石U-Pb同位素定年数据59个（详细数据见附表1至附表4）。在数据汇编过程中，将德阳—安岳凹槽东侧隆起带和西侧隆起带的数据分开统计，并开展对比分析工作。其中，凹槽东侧的数据主要来自于蓬莱、高石、磨溪地区的钻井，凹槽西侧的数据来自于资阳、金石、威远地区的钻井以及四川盆地西南缘的剖面。

3 成岩序列

目前，已有大量学者对川中古隆起灯影组的成岩作用类型与成岩序列开展了详细研究，相关研究所建立的成岩序列基本一致^[52-58]。总体而言，研究区主要成岩类型包括：泥晶化作用、白云石化作用、白云石胶结作用、溶蚀作用、压实作用、压溶作用、重结晶作用、硅化作用、热液矿物充填作用、沥青充填作用与构造破裂作用（图 3）。其中，泥晶化作用是最早发生的成岩作用之一，常表现为碳酸盐岩颗粒表面形成的薄层泥晶套，但主要发育于砂屑白云岩中（图 3a），但近期有研究认为泡沫棉层白云岩是颗粒白云岩建设性泥晶化作用和早期选择性溶蚀的综合产物^[59]。灯影组的（早期）白云石化作用机制尚在争论中，微生物白云石化、萨布哈白云石化、渗透回流白云石化等都有被提及，但其白云石化发生时间极早（同生期—早成岩期）是目前的共识^[39,44,60-63]。灯影组藻格架或原始颗粒沉积后，其格架孔和粒间孔常被多期白云石胶结物充填，其形成环境从近地表环境延伸至深埋藏环境，完整充填序列可归纳为：第一期纤维状或泥—粉晶白云石、第二期叶片状或细晶白云石、第三期中—粗晶白云石、第四期鞍状或巨晶白云石充填，但是单一孔洞内仅出现两期或三期胶结物（图 3b、图 4）。需要注意的是，川中古隆起灯影组白云岩中也有淡水白云石胶结物，多呈粒状（直径多小于 0.5 mm）分布基质白云石间或纤维状/叶片状白云石部分充填的孔隙内，但其含量普遍很低，常被认为是形成准同生期和/或表生期大气淡水胶结作用产物^[19,55,64-65]。除白云石胶结物外，研究区灯影组内也见方解石、重晶石、石英、萤石、多类金属矿物（闪锌矿、黄铁矿、方铅矿、铅锌矿）等热液矿物与沥青充填：其中，热液矿物常位于第三/四期白云石胶结物充填的残余孔洞内，是成岩晚期产物^[19,29,62,66]；沥青充填主要存在两期，分别发生在第二期白云石胶结物形成后和第四期鞍状或巨晶白云石形成后^[18,32,55,67]（图 2）。

灯影组原始藻格架或颗粒等自进入埋藏期后并经历长期压实、压溶作用，导致颗粒定向排列、破裂、变形等，并形成缝合线等（图 3c, d）。此外，重结晶作用、硅化作用与构造破裂作用在灯影组也较为常见。重结晶作用的产物主要为粉晶至细晶白云岩（图 3e），少见粗晶白云岩，原始沉积组构识别困难。镜下见粉晶—细晶白云岩内缝合线沿白云石晶体边界压溶，表明重结晶作用可能发生于强烈压溶之前，可能主要发生在中—深埋藏期^[70]。研究区灯影组硅化作用多具一定的组构选择性，可见第一/二期白云石胶结物被选择性硅化而第三期白云石胶结物未硅化的形象，表明硅化作用最晚可延伸至第二期白云石胶结物形成后；但也见白云岩整体被硅化的现象（图 3e, f）。构造破裂作用形成的裂缝可切割各类胶结物并被白云石、方解石、石英等多类矿物充填（图 3f~h），表明其活动时间相对广泛；近期

的白云石脉体 U-Pb 定年显示，川中地区灯影组至少存在桐湾期、加里东晚期、印支早期三期构造破裂活动^[71]。

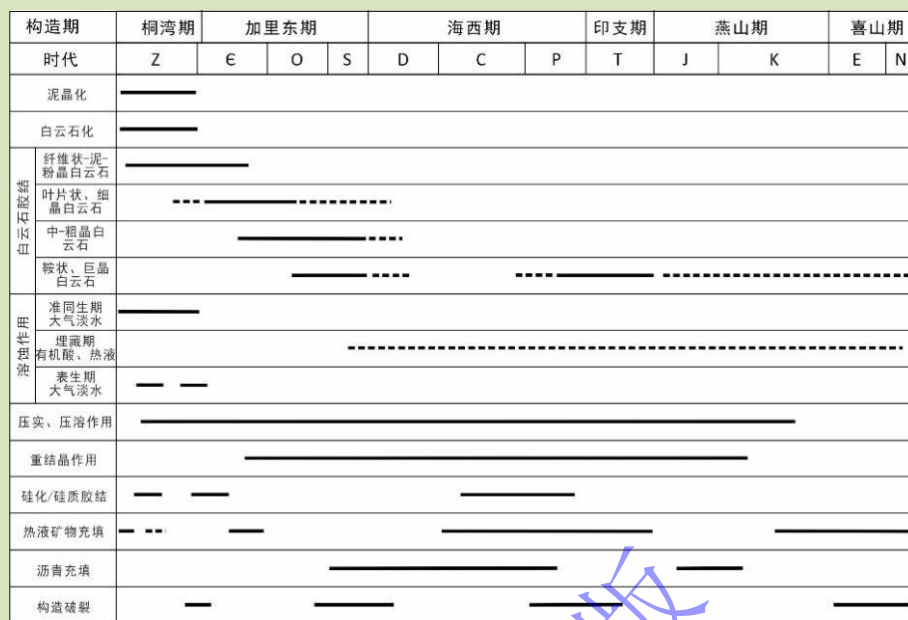


图 2 川中古隆起灯影组典型成岩序列图（据文献[68-69]修改）

Fig.2 Representative paragenetic sequence of the Dengying Formation in the central Sichuan paleo-uplift,
(modified from references [68-69])

灯影组的溶蚀作用尤为发育，主要分为三类：准同生期溶蚀、表生期溶蚀、埋藏期溶蚀（图 3j~l）。受灯影期高频海平面变化的影响，灯影组沉积物周期性短暂暴露并发生准同生期岩溶作用^[72]。该期岩溶作用具有明显的组构选择性，可表现为叠层石的顺层溶孔与溶缝（图 3j）、砂屑白云岩的铸模孔等^[55,73-75]。准同生期选择性溶蚀形成的溶洞、溶缝内可见第一期纤维状或泥—粉晶白云石环边发育，表明其形成时间很早^[72]。灯影组表生期岩溶作用和桐湾运动构造抬升相关，该期岩溶作用主要发生在灯二段沉积末期与灯四段沉积末期，不具备明显的组构选择性，可形成大型—超大型溶洞、溶沟、暗河沉积以及风化壳等（图 3k）。埋藏期溶蚀作用表现为第二至第四期白云石胶结物以及沥青等后期充填物被局部溶蚀（图 3c~l），主要与埋藏期酸性流体充注有关，如生烃期有机酸充注与大火成岩省发育期的酸性流体充注^[30,64-65,76-78]，该期溶蚀作用对储层储集性能的影响相对较弱。

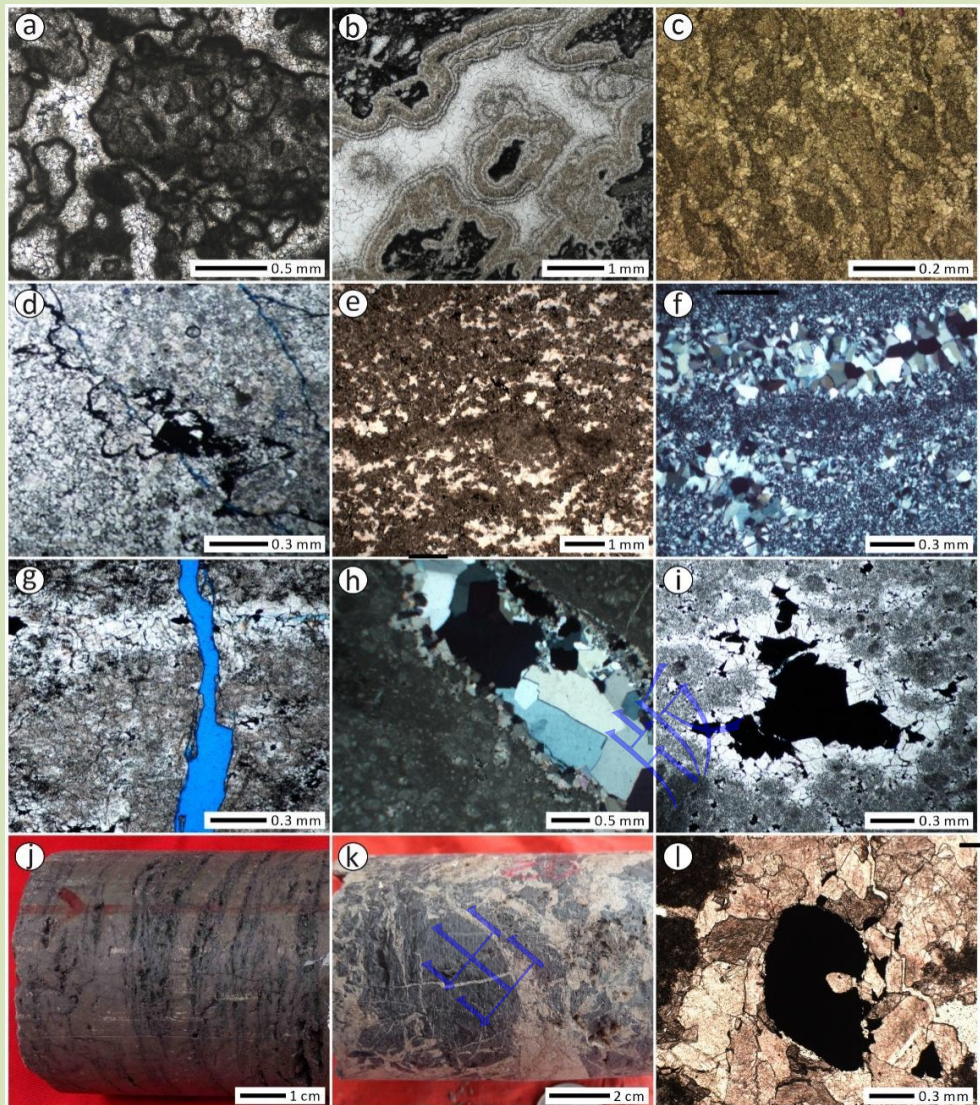


图3 川中古隆起灯影组主要成岩作用类型

(a) 砂屑白云岩, 泥晶套与泥晶化作用, 灯二段, 先锋剖面, 单偏光; (b) 藻凝块白云岩, 白云石胶结物充填孔洞, 灯二段, 安乐剖面, 单偏光; (c) 砂屑白云岩, 压实作用导致的砂屑定向排列, 灯一段, ZY1 井, 单偏光; (d) 细晶白云岩, 压溶作用形成的缝合线, 灯四段, GS16 井, 单偏光; (e) 硅质粉—细晶白云石, 重结晶作用形成的等粒状白云石, 灯四段, PS1 井, 单偏光; (f) 硅质岩, 硅化作用, 灯四段, DT1 井, 正交偏光; (g) 晶粒白云岩, 破裂作用形成的裂缝, 灯四段, DT1 井, 单偏光; (h) 砂屑白云岩, 破裂作用形成裂缝被热液石英充填, 灯四段, DT1 井, 正交偏光; (i) 砂屑白云岩, 沥青充填残余孔隙, 灯四段, GS16 井, 单偏光; (j) 藻叠层白云岩, 准同期溶蚀与顺层溶孔/洞, 灯二段, ZS101 井; (k) 角砾白云岩, 表生期溶蚀, 灯四段, MX105 井; (l) 藻凝块白云岩, 埋藏期溶蚀导致的鞍状白云石部分溶蚀, 后被沥青充填, 灯四段, PS13 井, 单偏光

Fig.3 Main diagenetic processes in the Dengying Formation in the central Sichuan paleo-uplift

(a) intraclastic dolo-grainstone developing micrite envelope and micritization, Z_2dn^2 , Xianfeng profile, plane polarized light; (b) dolo-thrombolite with porosity filled by dolomite cements, Z_2dn^2 , Anle profile, plane polarized light; (c) intraclastic dolo-grainstone, showing mechanical rearrangement of grains caused by mechanical compaction, Z_2dn^1 , well ZY1, plane polarized light; (d) fine-crystalline dolostone with stylolite formed by chemical compaction, Z_2dn^2 , well GS16, plane polarized light; (e) siliceous very fine-to-fine crystalline dolostone with equant dolomite caused by recrystallization, Z_2dn^4 , well PS1; (f) Siliceous rock formed by the silicification of dolostone, Z_2dn^4 , well DT1; (g) crystalline dolostone with a fracture caused by fracturing, Z_2dn^4 , well DT1, plane polarized light; (h) intraclastic dolo-grainstone with a fracture filled by hydrothermal quartz, Z_2dn^4 , well DT1, cross polarized light; (i)

intraclastic dolo-grainstone with bitumen filling porosity, Z_2dn^4 , well GS16, plane polarized light; (j) dolo-stromatolite developing penecontemporaneous karst and stratified dissolved voids, Z_2dn^2 , well ZS101, cross polarized light; (k) dolo-breccia generated by epigenic karst, Z_2dn^4 , well MX105, cross polarized light; (l) dolo-thrombolite with porosity filled by partially dissolved saddle dolomite and bitumen, Z_2dn^4 , well PS13, plane polarized light

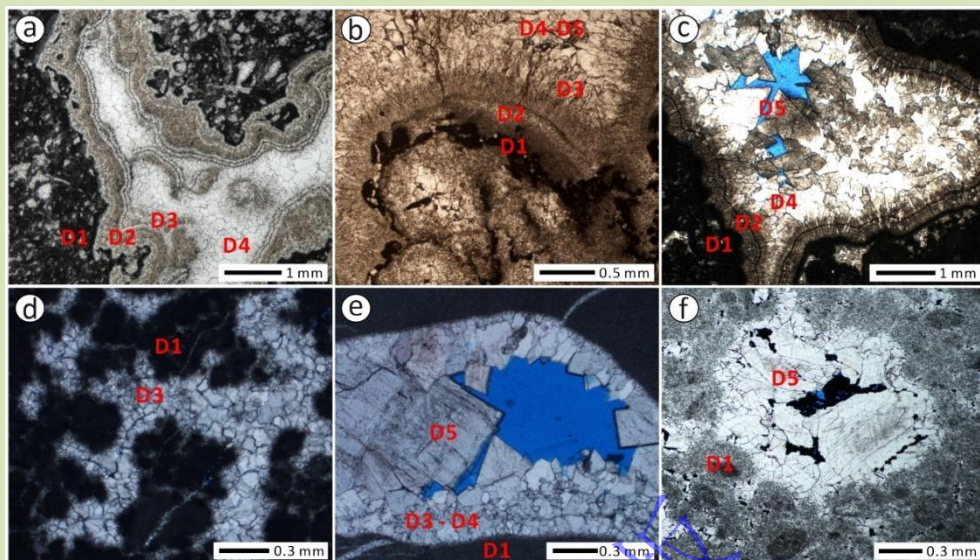


图 4 川中古隆起灯影组主要胶结物镜下特征

(a) 藻凝块白云岩, 孔洞内被 D2 至 D4 三类白云石胶结物充填, 灯二段, 安乐剖面, 单偏光; (b) 藻云岩, 格架(溶)孔内见多期白云石, 灯二段, GS131X 井, 单偏光; (c) 藻凝块白云岩, 向孔隙中心依次发育 D2、D4、D5, 灯二段, ZS101 井, 单偏光; (d) 藻凝块白云岩, 凝块间孔隙被 D3 全充填, 灯四段, HS1 井, 单偏光; (e) 泥晶白云岩, 溶孔内见 D3、D4、D5, 灯四段, HS1 井, 单偏光; (f) 砂屑白云岩, 孔隙内发育 D5 与沥青, 灯四段, GS16 井, 单偏光; D1. 基质白云石, D2. 纤维状或泥—粉晶白云石胶结物, D3. 叶片状或细晶白云石胶结物, D4. 中—粗晶白云石胶结物, D5. 鞍状或巨晶白云石胶结物

Fig.4 Thin-section microphotographs showing the main cements of the Dengying Formation in the central Sichuan paleo-uplift

(a) dolo-thrombolite with porosity cemented by D2 to D3, Z_2dn^2 , Anle profile, plane polarized light; (b) dolo-microbialite with (dissolved) growth-framework porosity filled by multiphase dolomite cements, Z_2dn^2 , well GS131X, plane polarized light; (c) dolo-thrombolite with D2, D4, and D5, Z_2dn^2 , well ZS101, plane polarized light; (d) dolo-thrombolite with D3 fulling occluding porosity, Z_2dn^4 , well HS1, plane polarized light; (e) micritic dolostone with porosity cemented by D3, D4, and D5, Z_2dn^4 , well HS1, plane polarized light; (f) intraclastic dolo-grainstone with porosity filled by D5 and bitumen, Z_2dn^4 , well GS16, plane polarized light; D1. matrix dolomite, D2. fibrous or micrite to very fine crystalline dolomite cement, D3. bladed or fine crystalline dolomite cement, D4. medium to coarse crystalline dolomite cement, D5. saddle or mega crystalline dolomite cement

4 盐水流体活动产物特征

4.1 矿物类型

川中古隆起灯影组盐水流体活动的产物多样, 但五类白云石在各区都普遍发育, 分别为基质白云石 (D1)、纤维状或泥—粉晶白云石 (D2)、叶片状或细晶白云石 (D3)、中—粗晶白云石 (D4)、鞍状或巨晶白云石 (D5) (图 4), 分别代表最主要的五期盐水流体活动产物。基质白云石 (D1) 主要为泥晶白云石 (图 4a~e), 是藻云岩中藻凝块和藻纹层以及泥晶白云岩的主要组成部分, 代表最早期的白云石化事件。纤维状或泥—粉晶白云石

(D2) 包含纤维状白云石胶结物与(粒状)泥—粉晶白云石两个子类型(图4a~d)，二者可呈互层状同时出现，但多单独出现，代表第二期主要的盐水流体产物；其中，纤维状白云石胶结物最为常见，主要由沿空隙边缘垂直生长的纤维状白云石(晶体长宽比普遍大于6)组成并呈等厚环带状，环带厚度从数十微米至数毫米皆有发现。叶片状或细晶白云石(D3)可生长于纤维状或泥—粉晶白云石环边之上，也可直接充填于灯影组藻云岩和颗粒云岩的溶蚀孔洞之内，晶体长度普遍介于100~200 μm，可呈不等大的叶片状或不等粒状，其中叶片状白云石相对较少发育，代表第三期主要盐水流体的产物(图4a, b, d, e)。中—粗晶白云石(D4)是第四期主要盐水流体的产物，其晶体普遍大于细晶白云石，晶体长度多大于200 mm，为不规则粒状(图4a~c, e)。中—粗晶白云石(D4)多出现在叶片状或细晶白云石之后，常表现出自孔隙外缘向孔隙中心晶体逐渐增大的特征。鞍状或巨晶白云石(D5)为最晚期盐水流体活动，以晶面弯曲、波状消光的鞍状白云石产出为代表特征，少见巨晶白云石，多位于孔隙中心(图4b, c, e, f)；从生长次序而言，鞍状或巨晶白云石多生长在叶片状或细晶白云石、中—粗晶白云石之后。

4.2 稳定碳、氧同位素组成

川中古隆起灯影组不同类型、不同区域白云石的 $\delta^{13}\text{C}$ 和 $\delta^{18}\text{O}$ 存在差异(图5)。凹槽东侧D1的 $\delta^{13}\text{C}$ 和 $\delta^{18}\text{O}$ 分别为 $-0.5\text{~}3.4\text{\textperthousand}$ V-PDB、 $-10.8\text{~}0.9\text{\textperthousand}$ V-PDB；西侧D1的 $\delta^{13}\text{C}$ ($-0.8\text{~}4.3\text{\textperthousand}$ V-PDB)和 $\delta^{18}\text{O}$ ($-6.5\text{~}5.5\text{\textperthousand}$ V-PDB)与东侧基本一致。凹槽东侧D2的 $\delta^{13}\text{C}$ 和 $\delta^{18}\text{O}$ 为 $0\text{~}3.7\text{\textperthousand}$ V-PDB、 $-8.9\text{~}2.8\text{\textperthousand}$ V-PDB；西侧D2的 $\delta^{13}\text{C}$ 和 $\delta^{18}\text{O}$ 相对较低，分别为 $-2.0\text{~}2.7\text{\textperthousand}$ V-PDB、 $-10.1\text{~}-0.3\text{\textperthousand}$ V-PDB。凹槽东侧D3的 $\delta^{13}\text{C}$ 为 $-0.6\text{~}2.6\text{\textperthousand}$ V-PDB，显著高于西侧D3的 $\delta^{13}\text{C}$ ($-3.3\text{~}1.7\text{\textperthousand}$ V-PDB)； $\delta^{18}\text{O}$ 方面，东侧D3在 $-10.0\text{~}5.4\text{\textperthousand}$ V-PDB间，而西侧D3则明显较窄，为 $-9.7\text{~}7.8\text{\textperthousand}$ V-PDB。凹槽东西两侧D4的 $\delta^{13}\text{C}$ 范围基本重合，分别为 $-2.3\text{~}3.2\text{\textperthousand}$ V-PDB、 $-1.9\text{~}2.9\text{\textperthousand}$ V-PDB； $\delta^{18}\text{O}$ 显示东侧变化范围更大($-13.8\text{\textperthousand}$ 至 $-5.1\text{\textperthousand}$ V-PDB)，西侧相对集中($-12.6\text{\textperthousand}$ 至 $-8.8\text{\textperthousand}$ V-PDB)。凹槽东西两侧D5的 $\delta^{13}\text{C}$ 和 $\delta^{18}\text{O}$ 存在较大差异，东侧 $\delta^{13}\text{C}$ 介于 $-5.4\text{~}4.0\text{\textperthousand}$ V-PDB， $\delta^{18}\text{O}$ 介于 $-14.8\text{~}6.8\text{\textperthousand}$ V-PDB；而西侧为 $-1.7\text{\textperthousand}$ 至 $3.1\text{\textperthousand}$ V-PDB、 $\delta^{18}\text{O}$ 为 $-12.0\text{\textperthousand}$ 至 $-3.1\text{\textperthousand}$ V-PDB。

总体而言，德阳—安岳凹槽东侧D1和D2的 $\delta^{13}\text{C}$ 相对接近，D3、D4、D5的 $\delta^{13}\text{C}$ 则总体略偏负，其中D4和D5存在部分样品的 $\delta^{13}\text{C}$ 显著偏负；凹槽东侧白云石的 $\delta^{18}\text{O}$ 则表现出从D1至D5逐渐负偏的显著趋势， $\delta^{18}\text{O}$ 从D1的 $-5.0\text{~}3.0\text{\textperthousand}$ V-PDB下降为D5的 $-12.0\text{~}9.5\text{\textperthousand}$ V-PDB(图5b)。相比之下，凹槽西侧不同类型白云石的 $\delta^{13}\text{C}$ 变化范围更

大，D1 至 D3 总体呈现出 $\delta^{13}\text{C}$ 逐渐降低的趋势，但是 D4 和 D5 的 $\delta^{13}\text{C}$ 却高于 D3，且变化范围更大（图 5d）。在 $\delta^{18}\text{O}$ 方面，凹槽西侧同样表现出从 D1 至 D4 逐渐负偏的总体趋势，但至 D5 时， $\delta^{18}\text{O}$ 的分布范围进一步扩大，部分样品的 $\delta^{18}\text{O}$ 值明显高于 D4 型，表现出一定程度的正偏特征（图 5d）。

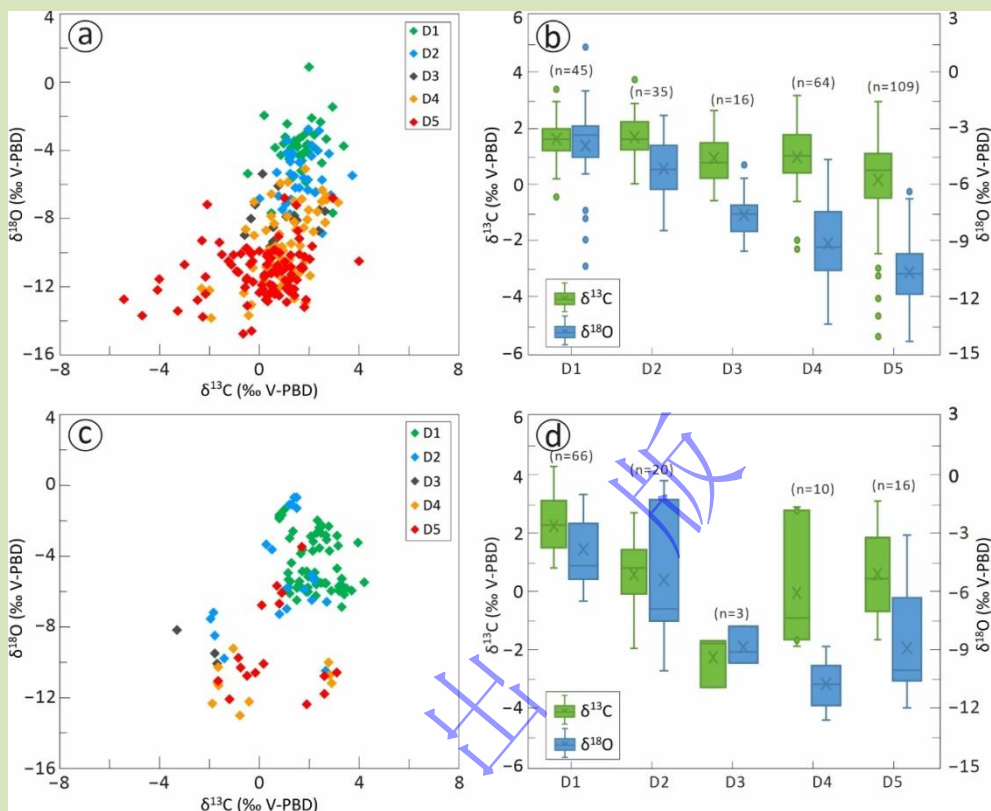


图 5 川中古隆起灯影组不同类型白云石的 $\delta^{13}\text{C}$ - $\delta^{18}\text{O}$ 组成

(a, b) 德阳—安岳凹槽东侧；(c, d) 德阳—安岳凹槽西侧

Fig.5 $\delta^{13}\text{C}$ and $\delta^{18}\text{O}$ compositions of dolomite cements in the Dengying Formation, central Sichuan paleo-uplift

(a) eastern side of the Deyang-Anyue intracratonic sag; (b) western side of the Deyang-Anyue intracratonic sag

4.3 镉同位素组成

统计分析显示研究区灯影组白云石的 $^{87}\text{Sr}/^{86}\text{Sr}$ 介于 0.707 789~0.715 231，平均值为 0.710 253（图 6）。凹陷东侧 D1 的 $^{87}\text{Sr}/^{86}\text{Sr}$ 普遍介于 0.708 000~0.711 000，西侧 D1 的 $^{87}\text{Sr}/^{86}\text{Sr}$ 主要介于 0.708 500~0.709 000。凹陷东侧和西侧 D2 的 $^{87}\text{Sr}/^{86}\text{Sr}$ 范围较小，分别介于 0.708 645~0.709 023、0.708 820~0.710 144，西侧 D2 的 $^{87}\text{Sr}/^{86}\text{Sr}$ 相对较高。凹陷东侧 D3 的 $^{87}\text{Sr}/^{86}\text{Sr}$ 介于 0.708 703~0.711 800，较 D2 显著增高且范围变大。凹陷东侧 D4 与 D3 的 $^{87}\text{Sr}/^{86}\text{Sr}$ 范围基本重合，介于 0.708 703~0.711 800，凹槽西侧 D2 的 $^{87}\text{Sr}/^{86}\text{Sr}$ 则介于 0.709 030~0.709 750。研究区 D5 的 $^{87}\text{Sr}/^{86}\text{Sr}$ 变化范围极大，其中凹槽东侧 D5 的 $^{87}\text{Sr}/^{86}\text{Sr}$ 介于 0.708 566~0.714 959，与 D4 局部重合；凹槽西侧 D5 的 $^{87}\text{Sr}/^{86}\text{Sr}$ 介于 0.710 059~0.715 231，显著高于同区 D4 的

$^{87}\text{Sr}/^{86}\text{Sr}$ 。

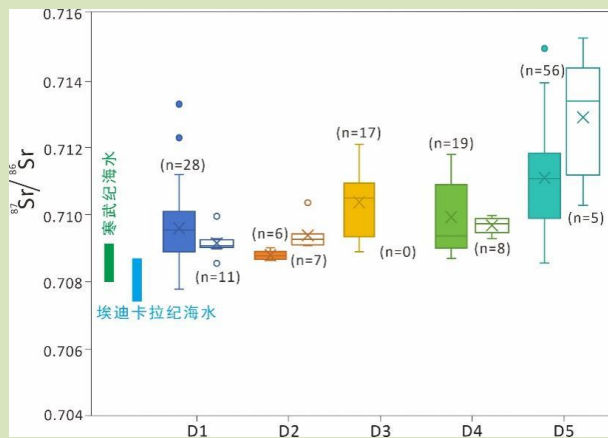


图6 川中古隆起灯影组不同类型白云石的 $^{87}\text{Sr}/^{86}\text{Sr}$ 组成与埃迪卡拉纪、寒武纪海水 $^{87}\text{Sr}/^{86}\text{Sr}$ 组成^[79](实心箱形图与空心箱形图分别指示凹陷东侧与凹槽西侧数据)

Fig.6 $^{87}\text{Sr}/^{86}\text{Sr}$ compositions of different dolomites from the Dengying Formation in the central Sichuan paleo-uplift, compared with the $^{87}\text{Sr}/^{86}\text{Sr}$ ranges of the Ediacaran and Cambrian seawater^[79](solid box plots and hollow box plots present data from the eastern and western sides of the Deyang-Anyue intracratonic sag, respectively)

4.4 团簇同位素

研究区各类白云石的团簇同位素数据较少,但基于团簇同位素重建的成岩温度[T(δ_{47})]总体表现出从D1至D5逐渐升高的趋势(图7)。其中,凹陷东侧D1至D5的T(δ_{47})温度分别为21.7 °C~30.2 °C、47.2 °C~73.1 °C、89.3 °C、71.6 °C~166.2 °C、125 °C~213 °C;凹陷西侧D1、D2、D4、D5的T(δ_{47})温度分别56.9 °C、51 °C~135 °C、113.7°C~179 °C、182.7 °C~194 °C。

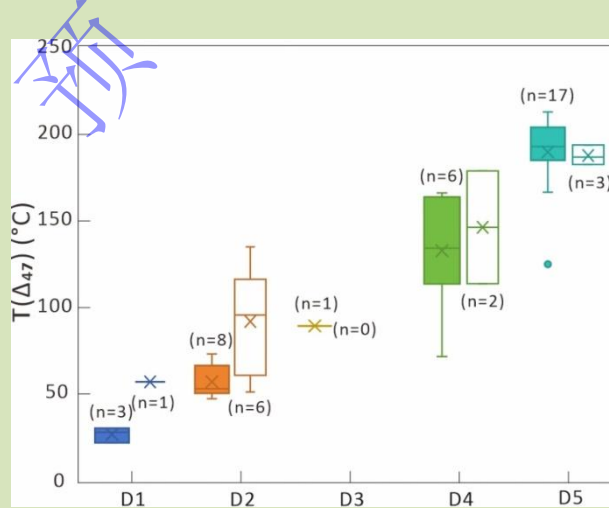


图7 川中古隆起灯影组不同类型白云石的T(δ_{47})特征(实心箱形图与空心箱形图分别指示凹陷东侧与凹槽西侧数据)

Fig.7 T(δ_{47}) of different dolomites from the Dengying Formation in the central Sichuan paleo-uplift (Solid box plots and hollow box plots present data from the eastern and western sides of the Deyang-Anyue intracratonic sag, respectively)

4.5 U-Pb 同位素定年

白云石 U-Pb 同位素定年数据显示，各期白云石的形成年龄具有显著差异（图 8）。凹槽东侧 D1 的 U-Pb 年龄为 607 ± 21 Ma~ 548 ± 21 Ma，西侧为 584 ± 24 Ma。D2 的 U-Pb 年龄约小于 D1，东侧为 781 ± 21 Ma~ 474 ± 3.7 Ma，主要介于 600~500 Ma；西侧为 557 ± 39 Ma~ 410 ± 21 Ma，但多为 550~500 Ma。凹槽东侧和西侧 D3 的 U-Pb 年龄分别为 545.4 ± 6.9 Ma~ 465 ± 27 Ma、 486 ± 29 Ma~ 481 ± 12 Ma。凹槽东侧 D4 的 U-Pb 年龄介于 479.6 ± 5.4 Ma~ 390 ± 40 Ma，凹槽西侧 D4 的 U-Pb 年龄缺乏。D5 的 U-Pb 年龄范围极大，凹槽东侧为 472 ± 21 Ma~ 41 ± 35 Ma，凹槽西侧为 216.4 ± 7 Ma~ 20 ± 130 Ma。

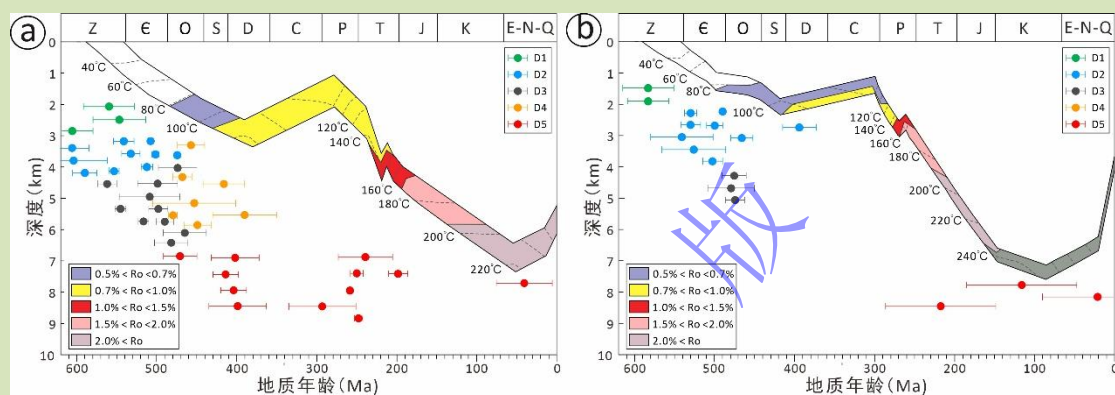


图 8 川中古隆起灯影组典型钻井埋藏史—热演化史（据文献[80-81]修改）与不同类型白云石 U-Pb 年龄
(a) 德阳—安岳凹槽东侧; (b) 德阳—安岳凹槽西侧

Fig.8 Typical burial-thermal evolution history of the Dengying Formation (central Sichuan paleo-uplift) and
U-Pb ages of different dolomites

(a) eastern side of the Deyang-Anyue intracratonic sag; (b) western side of the Deyang-Anyue intracratonic sag

5 讨论



5.1 多期白云石的成岩流体与成岩环境

深层至超深层白云岩储层通常经历了复杂的构造变形、埋藏演化及多阶段成岩作用过程，使其白云石化特征表现出显著的多期性，且随着埋藏深度的增加和层系的变老，白云石化作用的期次愈加繁多，演化过程亦趋复杂^[46,82]。本次的数据汇编分析显示，川中古隆起灯影组五期白云石的成岩流体和成岩环境存在显著差异。

D1 的 $\delta^{13}\text{C}$ 主要介于 1.0~3.0‰ V-PDB，介于同期海相碳酸盐岩的 $\delta^{13}\text{C}$ 范围（0~6.0‰ V-PDB）^[83]，U-Pb 年龄在 607 ± 21 Ma~ 548 ± 21 Ma 之间，属于埃迪卡拉纪晚期，表明 D1 的白云石化流体可能主要为同期海水^[84]。凹陷东侧 D1 的 $T(\delta_{47})$ 介于 $21.7^\circ\text{C} \sim 30.2^\circ\text{C}$ ，西侧则为 56.9°C ，其中东侧 D1 的 $T(\delta_{47})$ 为经过成岩恢复排除高温导致的 $\delta^{13}\text{C}$ - $\delta^{18}\text{O}$ 固态重排后的数据^[15]，可信度最高。埃迪卡拉纪全球海水温度在 $18^\circ\text{C} \sim 38^\circ\text{C}$ 之间^[85]，而川东地区灯影

组石盐矿物中的流体包裹体温度主要介于 20 °C~25 °C^[86], 对比表明同期海水在并未经历深循环升温或其他升温过程中就导致了 D1 的形成。为明确形成 D1 的海水是否经历了显著蒸发作用, 我们利用传统 O 同位素温度计^[87]和 D1 的 $\delta^{18}\text{O}$ 值, 分别计算了白云石化流体在 20 °C、25 °C、30 °C 情况下的 $\delta^{18}\text{O}_{\text{H}_2\text{O}}$ 值。结果显示恢复的 D1 白云石化流体的 $\delta^{18}\text{O}_{\text{H}_2\text{O}}$ 分别介于 -7.5~ -5.0‰ V-SMOW、-6.0~ -3.5‰ V-SMOW、-5.0~ -2.5‰ V-SMOW (图 9), 而新元古宙海水的 $\delta^{18}\text{O}_{\text{H}_2\text{O}}$ 低于 -5.0‰ V-SMOW^[88], 表明形成 D1 并未经历显著的蒸发作用。综合证据表明 D1 的形成是海水白云石化产物, 但具体是微生物白云石化、(未强烈蒸发海水的) 渗透回流白云石化或其他模式有待明确。另外, 需注意的是多数 D1 的 $^{87}\text{Sr}/^{86}\text{Sr}$ 略高于埃迪卡拉纪海水, 这可能与富放射性 ^{87}Sr 细碎屑物质的注入有关。灯影组沉积期, 四川盆地北部发育汉南古陆^[90], 凹槽东侧 D1 更高的 $^{87}\text{Sr}/^{86}\text{Sr}$ 可能与该区域更靠近汉南古陆相关; 同时, 较深水凹槽的存在也在一定程度上阻碍了细碎屑物质向德阳—安岳凹槽西侧的运移。

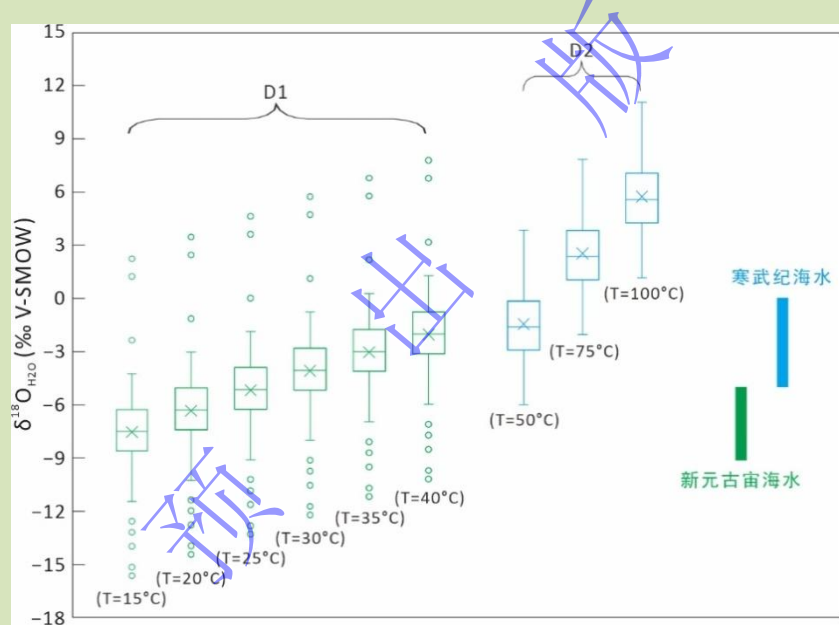


图 9 川中古隆起灯影组基质白云石 (D1) 与纤维状或泥—粉晶白云石 (D2) 在不同成岩温度下恢复的白云石化流体的 $\delta^{18}\text{O}_{\text{H}_2\text{O}}$ 范围和新元古宙海水、寒武纪海水的 $\delta^{18}\text{O}_{\text{H}_2\text{O}}$ 范围^[88-89]

Fig.9 Calculated $\delta^{18}\text{O}_{\text{H}_2\text{O}}$ of the dolomitization fluids for the matrix dolomite (D1) and fibrous or micrite to very fine-crystalline dolomite (D2) in the Dengying Formation of the central Sichuan paleo-uplift at different temperatures, compared with the $\delta^{18}\text{O}_{\text{H}_2\text{O}}$ ranges of the Neoproterozoic and Cambrian seawater

U-Pb 定年显示 D2 与 D1 同期形成或略晚 (多在 600~500 Ma, 即埃迪卡拉纪—寒武纪苗岭统), 表明其可能为同生期或早成岩期的产物。D2 的 $\delta^{13}\text{C}$ 与 $^{87}\text{Sr}/^{86}\text{Sr}$ 显示出与 D1 相似的组成, 表明其成岩流体主要也为海水。D2 的 $T(\delta_{47})$ 多介于 50.0 °C~100 °C, 解楠^[15]经过成岩恢复后的纤维状白云石胶结物的 $T(\delta_{47})$ 为 73.1 °C, 高于埃迪卡拉纪至寒武纪海水温度^[85], 表明原始海水可能存在增温现象。利用传统 O 同位素温度计^[87]计算 D2 成岩流体在

50 °C、75 °C、100 °C时的 $\delta^{18}\text{O}_{\text{H}_2\text{O}}$ 多分别为−3.0‰~0 V-SMOW、1.5‰~3.5‰ V-SMOW 和 4.5‰~7.5‰ V-SMOW（图 9），比新元古宙海水的 $\delta^{18}\text{O}_{\text{H}_2\text{O}}$ （低于−5.0‰ V-SMOW）^[88]高出 2.0%以上，与寒武纪海水的 $\delta^{18}\text{O}_{\text{H}_2\text{O}}$ (−5.0‰~0 V-SMOW)^[90]局部重合。相比于海水更高的 $\delta^{18}\text{O}$ 可能与蒸发作用导致的残余海水中的 ^{18}O 富集相关^[91]。现代海洋中，进入石膏沉淀区的海水通常比正常海水的 $\delta^{18}\text{O}_{\text{H}_2\text{O}}$ 高 3‰~6‰ V-SMOW^[92]。对比表明，研究区 D2 计算的成岩流体盐度范围较广，可能包括盐度接近原始海水的流体，也包括经过强蒸发的中—高盐度海源卤水。这一推测符合研究区的沉积背景：研究区从埃迪卡拉纪至中寒武世经历了碳酸盐岩台地—深水陆棚—碳酸盐岩缓坡—碳酸盐岩蒸发台地的演化，能为 D2 的形成提供正常盐度海水至高盐度卤水。综上，D2 可能与早成岩期（蒸发）海水来源的孔隙水相关。但需要注意的是，D2 主要以纤维状白云石为主，而灯影组的纤维状白云石存在正、负延性两类，分别指示原生沉淀与次生交代白云石^[31,93-95]。因此，D2 既包括早成岩期的孔隙水胶结作用的产物，也包括其（拟晶）白云石化的产物。

凹槽东侧 D3 的 $\delta^{13}\text{C}$ 范围与 D1 和 D2 存在部分重叠，但整体相对略低（差值在 2.0‰ 以内），同时其 $^{87}\text{Sr}/^{86}\text{Sr}$ 范围与 D1 和 D2 部分重叠但略高；凹槽西侧 D3 的 $\delta^{13}\text{C}$ 数据过少， $^{87}\text{Sr}/^{86}\text{Sr}$ 数据缺少，指示意义较差，不作深入分析。这种与 D1 相似的 $\delta^{13}\text{C}$ 、 $^{87}\text{Sr}/^{86}\text{Sr}$ 组成表明：（1）D3 的形成可能与 D1、D2 具有类似的成岩流体（即海水），（2）D3 的形成可能是埋藏作用过程中 D1 和 D2 溶解再沉淀的结果。其中，前者的可能性较小，因为：（1）研究区 D3 的 U-Pb 定年年龄多介于 520~470 Ma，主要为中寒武世至早奥陶世的产物，此时灯影组埋深已超过 1 000 m（图 8），海水很难下渗至如此深度；（2）研究区在中寒武世演化为均一碳酸盐岩台地内的台内环境^[96]，早奥陶世川中古隆起虽开始发育但未发生显著变形，主要表现为同沉积古隆起^[97]，因此研究区中寒武世至中奥陶世不太可能存在大断裂直接连通灯影组与地表；（3）上覆寒武系麦地坪组—筇竹寺组是一套深水—较深水相沉积^[96]，渗透性极差，是一套天然的隔水层。此外，D3 的 $T(\delta_{47})$ 为 89.3 °C，处于研究区灯影组在中寒武世至中奥陶世期间的地层温度范围（50 °C~95 °C）之内（图 8），说明 D3 的形成未受外来热液的影响。因此，D3 最可能是 D1 和 D2 在埋藏过程中发生溶解，并在局部适宜环境中再沉淀的产物。

D4 与 D3 在 $\delta^{13}\text{C}$ 与 $^{87}\text{Sr}/^{86}\text{Sr}$ 范围上基本一致，表明 D4 的成岩流体可能与 D3 类似。D4 与 D3 的 $\delta^{18}\text{O}$ 局部重合，但整体更为偏负，这可能与其更晚的形成时代（多介于 470~410 Ma，即中寒武世—晚志留世）、相对更深的形成深度以及更高的成岩流体温度有关。D4 的 $T(\delta_{47})$ 多在 110 °C~160 °C 之间，经过成岩恢复后的 D4 的 $T(\delta_{47})$ 介于 127.8 °C~166.2 °C^[15]，

显著高于 D3 的成岩流体温度 [$T(\delta_{47})=89.3\text{ }^{\circ}\text{C}$]，验证了 D4 较 D3 形成于更加高温的成岩流体中。但是，需要注意的是 D4 形成期（即中寒武世—晚志留世）灯影组在凹陷东西两侧的地层温度均在 $50\text{ }^{\circ}\text{C}\sim120\text{ }^{\circ}\text{C}$ 间（图 8），显著低于 D4 的 $T(\delta_{47})$ 温度，表明 D4 的形成受到外源高温热液的影响。这种热液的输入可能与局部断裂活动或者晚奥陶世—晚泥盆世川中古隆起区域性剧烈抬升变形相关^[97]。因此，D4 可能是中埋藏期 D1-D2 溶解后形成的流体与高温热液混合所沉淀的产物，但鉴于团簇同位素数据有限且不同区块埋藏史存在差异，部分 D4 可能未受到高温热液的影响。

D5 的 $\delta^{13}\text{C}$ 、 $\delta^{18}\text{O}$ 、 $^{87}\text{Sr}/^{86}\text{Sr}$ 较 D1-D4 都出现了明显的变化，表明其成岩流体与 D1-D4 明显不同。D5 的 $^{87}\text{Sr}/^{86}\text{Sr}$ 与 D3 和 D4 局部重合，但整体显著高于 D1 和 D2，说明其 Sr 来源可能具有明显的多源性或它源性，而不仅仅来自早期大量形成的 D1 和 D2 溶解所产生的流体。D5 的 $\delta^{18}\text{O}$ 较 D1-D4 显著降低，指示更高的成岩温度，这得到了其接近 $200\text{ }^{\circ}\text{C}$ 的 $T(\delta_{47})$ 温度的验证（图 8）。前期有研究认为，川中古隆起的鞍状白云石主要为加里东期构造活动、峨眉大火成岩活动以及燕山期构造活动导致的热液活动相关^[32,36]。构造活动期的断裂发育能够显著增强深部热液向灯影组的运移，为其提供了富含放射性 ^{87}Sr 的热流体，这较好地解释了研究区 D5 所表现出的低 $\delta^{18}\text{O}$ 、高 $^{87}\text{Sr}/^{86}\text{Sr}$ 的特征^[29,32,36,82]。然而，本次汇总的 D5 的 U-Pb 年龄显示其形成时间跨度为 472 Ma 至 20 Ma ，说明 D5 并不具备明确的时间指示意义，深部热流体的充注与 D5 的沉淀过程可能持续贯穿奥陶纪至新生代。不过从年龄数据的整体分布来看，晚二叠系世（峨眉大火成岩省事件）是凹槽东侧 D5 的集中形成期。本次汇总的 D5 U-Pb 年龄数据的另一个显著特征是在中泥盆世至晚石炭世时期缺乏 D5 形成的年龄记录（图 8）。从川中古隆起的演化来看，志留纪末—石炭纪是川中古隆起的强烈隆升剥蚀阶段^[97-98]，大规模抬升的同时必然诱发大量的断裂活动而有利于深部热液向灯影组的运移。但是，D5 的缺失表明该时期灯影组地层内并未发生大规模热液充注活动。这种热液充注的缺失可能受两方面因素的影响：（1）大规模抬升（近千米地层被剥蚀）导致灯影组地层深度抬升近千米^[97]，抬升后的地下热液潜水面可能低于灯影组埋藏位置；（2）晚志留世—晚石炭世，川中古隆起及其周缘地区整体隆升形成古陆^[99]，地表海水缺乏，海水经大断裂向深部充注的活动受限。综上所述，研究区 D5 的形成可能主要受奥陶纪以来富含放射性 ^{87}Sr 的深部热液流体长期持续充注的控制。

5.2 盐水流体活动的成储效应

盐水流体活动伴随着沉积岩形成和演化的整个过程，对其作用和表现形式随埋藏深度及环境变化而动态演化。川中古隆起灯影组是四川盆地深层—超深层油气勘探的重点，五期盐

水流体活动通过两阶段差异化成岩作用影响着灯影组储层演化：早期盐水充注活动产生的建设性成岩作用、中晚期盐水流体活动导致的破坏性成岩作用。

沉积岩的储集性能受压实与压溶作用的影响极大^[100-101]。碳酸盐沉积物在浅层时的初始孔隙度可达 50%~70%；然而，随着埋藏深度的增加，尤其在埋藏深度超过 6 000 m 时，其孔隙度可大幅降低至接近于 0^[101]。因此，拥有抗压实格架的碳酸盐岩常能保留较好的孔隙，是深层—超深层油气勘探的关注重点。较灰岩而言，白云岩具有更强的物理硬度和化学稳定性，因此具有更强的抗压实—压溶能力^[102-103]。深埋藏的白云岩储层与灰岩储层虽然在渗透率上差异不大，但前者却表现出更高的孔隙度^[104]。研究显示，对于初始孔隙度较大的碳酸盐岩而言，其在埋藏阶段压实作用导致的孔隙度锐减主要集中发育在 1 000 m 深度范围内（即浅埋藏期早期）^[102]。对于研究区灯影组储层而言，浅埋藏期主要发育了两期盐水流体活动（图 8）。其中，第一期盐水流体活动发生在灯影组沉积期并导致了整个上扬子台地发生规模性早期白云石化，在台地边缘带形成了物性良好、具较强抗压实—压溶能力的丘滩相白云岩。第二期盐水流体活动在（溶蚀）孔洞周缘形成了 D2，此类胶结物的形成一方面部分填充了孔隙降低了储层品质，另一方面也将各类藻组构、颗粒等紧密胶结在一起，进一步增强了丘滩白云岩储层的抗压实—压溶能力。从川中蓬莱气田的统计来看，D2 仅占据储集空间的 20% 以下^[55,64]，对储层的破坏效应相对有限；相反，蓬莱气田灯二段的岩心显示，在保存较好的溶缝（洞）周围普遍发育有 D2^[105]，表明第二期盐水流体活动可能更多地表现为增强储层的抗压实—压溶能力。

D3-D5 多形成在 1 000 m 以下的中埋藏—深埋藏环境（图 8），此时压溶作用已成为最主要的减孔方式^[101-102]。压溶作用的大量发生导致早期 D1、D2 部分溶解，使得孔隙内流体变成白云石过饱和状态（即第三期盐水流体），并沿着残余储集空间周缘沉淀 D3。本次盐水流体活动对灯影组储层的破坏作用最大，川中蓬莱地区 D3 多占到储集空间的 50% 以上^[55,64]。随着埋藏的不断加深，压溶作用持续活动的同时，外源高温热液也沿着断裂带运移而来，并形成了 D4 和 D5，一定程度上破坏了储集空间。但是，D4、D5 占据储集空间的比例普遍小于 20%，对储层的破坏作用较弱。这种 D3 和 D4-D5 对储层的差异性破坏作用可能与二者形成期的差异性压溶作用相关。高孔隙度碳酸盐岩的孔隙度锐减主要集中在埋深 2 000 m 的范围，而压溶作用发生在埋深 500~800 m 后^[101-102]。这使得埋深在 800~2 000 m 的范围可能是主要的压溶再沉淀期。结合白云石 U-Pb 定年来看，800~2 000 m 正好是 D3 主要形成期，快速的压溶为 D3 的形成提供了物质基础。相比之下，D4-D5 多形成于 2 000 m 深度以下（图 8），持续的埋藏虽然会导致压溶作用的进行，但其压溶强度存在显著减弱，

地层内部对胶结作用发生所需的 Ca、Mg 等离子供给明显减弱。此外，川中地区灯影组在进入埋藏后一直处于相对封闭的环境，不存在大规模流体注入，外源 Ca、Mg 等离子的供给也相对缺乏。这一系列因素共同作用，最终使得 D4-D5 的发育程度明显低于 D3，减孔作用相对较弱，对储层的影响相对较小。

总体而言，川中古隆起灯影组白云岩储层的演化受两阶段盐水流体活动所主导的差异化成岩作用影响。沉积期至浅埋藏期的广泛盐水流体活动驱动大规模白云石化作用和早期白云石胶结作用，形成 D1 和 D2，显著提升了储层的抗压实—压溶能力。中埋藏—深埋藏期的流体活动，表现出明显的储层破坏性：其中，中埋藏早期的盐水流体活动形成大量的 D3 堵塞孔隙，导致储集空间显著减少，为主要破坏阶段；中埋藏晚期至深埋藏期由于流体供给有限、体系相对封闭，仅形成少量的 D4 和 D5，对白云岩储层的改造作用较弱。

6 结论

(1) 川中古隆起灯影组主要发育五类白云石：基质白云石 (D1)、纤维状或泥—粉晶白云石 (D2)、叶片状或细晶白云石 (D3)、中—粗晶白云石 (D4)、鞍状或巨晶白云石 (D5)。五类白云石在 $\delta^{13}\text{C}$ 、 $\delta^{18}\text{O}$ 、 $^{87}\text{Sr}/^{86}\text{Sr}$ 、T(δ_{47}) 和 U-Pb 年龄上存在一定差异，分别代表五期化学性质和形成时代各异的盐水流体活动产物。

(2) 川中古隆起灯影组各类白云石的成岩流体和成岩环境存在显著差异：D1 形成于埃迪卡拉纪晚期，主要为未经历强烈蒸发作用的海水白云石化产物；D2 形成于埃迪卡拉纪晚期—寒武纪，属于早成岩期（蒸发）海水渗透回流白云石化的产物；D3 多形成于中寒武世至早奥陶世，为中埋藏早期 D1 和 D2 在发生溶解后再沉淀的产物；D4 多形成于中寒武世—晚志留世，主要为中埋藏期 D1-D2 溶解后形成的流体与高温热液混合所沉淀产物；D5 形成期横跨奥陶纪至新生代，其形成可能主要与奥陶纪以来富含放射性 ^{87}Sr 的深部热液流体长期持续充注有关。

(3) 川中古隆起灯影组的盐水流体活动通过两阶段差异化成岩作用影响着灯影组深层—超深层白云岩储层演化。早期盐水流体活动促成大规模白云石化形成 D1 和 D2，增强了储层抗压实—压溶能力，具有建设性作用；而中晚期盐水流体活动形成的 D3、D4 和 D5 则破坏了残余储集空间，尤其以中埋藏早期的第三期盐水流体破坏性最强，而中埋藏晚期—深埋藏期的第四、五期盐水流体活动因体系相对封闭与流体注入有限，影响相对较弱。

参考文献 (References)

- [1] 贾承造，张水昌. 中国海相超深层油气形成[J]. 地质学报, 2023, 97 (9) : 2775-2801. [Jia Chengzao, Zhang Shuichang. The

- formation of marine ultra-deep petroleum in China[J]. Acta Geologica Sinica, 2023, 97(9): 2775-2801.]
- [2] 马永生, 蔡勋育, 李慧莉, 等. 深层—超深层碳酸盐岩储层发育机理新认识与特深层油气勘探方向[J]. 地学前缘, 2023, 30 (6) : 1-13. [Ma Yongsheng, Cai Xunyu, Li Huili, et al. New insights into the formation mechanism of deep-ultra-deep carbonate reservoirs and the direction of oil and gas exploration in extra-deep strata[J]. Earth Science Frontiers, 2023, 30(6): 1-13.]
- [3] 谢武仁, 文龙, 汪泽成, 等. 四川盆地深层—超深层碳酸盐岩油气成藏条件与勘探潜力[J]. 中国石油勘探, 2024, 29 (5) : 61-76. [Xie Wuren, Wen Long, Wang Zecheng, et al. Hydrocarbon accumulation conditions and exploration potential of deep-ultra-deep carbonate rocks in Sichuan Basin[J]. China Petroleum Exploration, 2024, 29(5): 61-76.]
- [4] 汪泽成, 赵振宇, 黄福喜, 等. 中国中西部含油气盆地超深层油气成藏条件与勘探潜力分析[J]. 世界石油工业, 2024, 31 (1) : 33-48. [Wang Zecheng, Zhao Zhenyu, Huang Fuxi, et al. Ultra-deep hydrocarbon accumulation conditions and exploration potential in sedimentary Basins of Central-western China[J]. World Petroleum Industry, 2024, 31(1): 33-48.]
- [5] 杨雨, 文龙, 宋泽章, 等. 川中古隆起北部蓬莱气区多层系天然气勘探突破与潜力[J]. 石油学报, 2022, 43 (10) : 1351-1368, 1394. [Yang Yu, Wen Long, Song Zezhang, et al. Breakthrough and potential of natural gas exploration in multi-layer system of Penglai gas area in the north of central Sichuan paleo-uplift[J]. Acta Petrolei Sinica, 2022, 43(10): 1351-1368, 1394.]
- [6] 谢武仁, 杨威, 汪泽成, 等. 台缘带特征、形成主控因素及其对油气成藏的控制: 以四川盆地灯影组为例[J]. 地质科学, 2021, 56 (3) : 867-883. [Xie Wuren, Yang Wei, Wang Zecheng, et al. Characteristics and main controlling factors on the development of a platform margin belt and its effect on hydrocarbon accumulation: A case study of Dengying Formation in Sichuan Basin[J]. Chinese Journal of Geology, 2021, 56(3): 867-883.]
- [7] 魏国齐, 王志宏, 李剑, 等. 四川盆地震旦系、寒武系烃源岩特征、资源潜力与勘探方向[J]. 天然气地球科学, 2017, 28 (1) : 1-13. [Wei Guoqi, Wang Zihong, Li Jian, et al. Characteristics of source rocks, resource potential and exploration direction of Sinian and Cambrian in Sichuan Basin[J]. Natural Gas Geoscience, 2017, 28(1): 1-13.]
- [8] 邹才能, 杜金虎, 徐春春, 等. 四川盆地震旦系—寒武系特大型气田形成分布、资源潜力及勘探发现[J]. 石油勘探与开发, 2014, 41 (3) : 278-293. [Zou Caineng, Du Jinhui, Xu Chunchun, et al. Formation, distribution, resource potential and discovery of the Sinian-Cambrian giant gas field, Sichuan Basin, SW China[J]. Petroleum Exploration and Development, 2014, 41(3): 278-293.]
- [9] 何登发, 李德生, 张国伟, 等. 四川多旋回叠合盆地的形成与演化[J]. 地质科学, 2011, 46 (3) : 589-606. [He Dengfa, Li Desheng, Zhang Guowei, et al. Formation and evolution of multi-cycle superposed Sichuan Basin, China[J]. Chinese Journal of Geology, 2011, 46(3): 589-606.]
- [10] Hanor J S. Origin of saline fluids in sedimentary Basins[J]. Geological Society, London, Special Publications, 1994, 78: 151-174.
- [11] Hanor J S. Porewaters in sediments[M]/Middleton G V, Church M J, Coniglio M, et al. Encyclopedia of sediments and sedimentary rocks. Dordrecht: Springer, 1978: 537-542.
- [12] Bjørlykke K. Subsurface water and fluid flow in sedimentary Basins[M]//Bjørlykke K. Petroleum geoscience: From sedimentary environments to rock physics. Berlin Heidelberg: Springer, 2015: 259-279.
- [13] Bjørlykke K. Fluid flow in sedimentary Basins[J]. Sedimentary Geology, 1993, 86(1/2): 137-158.
- [14] Hanor J S. Physical and chemical controls on the composition of waters in sedimentary Basins[J]. Marine and Petroleum Geology, 1994, 11(1): 31-45.
- [15] 解楠. 激光原位定年技术约束下的川中深层白云岩成岩演化史[D]. 西安: 西安石油大学, 2023: 1-60. [Xie Nan. Diagenetic evolution history of deep dolomites in central Sichuan constrained[D]. Xi'an: Xi'an Shiyou University, 2023: 1-60.]
- [16] 周宽. 川中地区震旦系—寒武系输导体系与油气富集关系研究[D]. 成都: 成都理工大学, 2021: 1-74. [Zhou Kuan. A study on the relationship between Sinian-Cambrian migration system and hydrocarbon enrichment in central Sichuan[D]. Chengdu: Chengdu University of Technology, 2023: 1-74.]
- [17] 吴朝盛, 钟怡江, 文华国, 等. 川西南乐山地区灯影组二—三段岩石学特征及沉积环境分析[J]. 科学技术与工程, 2015, 15 (7) : 11-18. [Wu Chaosheng, Zhong Yijiang, Wen Huagu, et al. Petrological characteristics and sedimentary environment of the member 2 and 3 of Dengying Formation, in Leshan area, Southwest Sichuan[J]. Science Technology and Engineering, 2015, 15(7): 11-18.]
- [18] 袁海锋, 刘勇, 徐昉昊, 等. 川中安平店—高石梯构造震旦系灯影组流体充注特征及油气成藏过程[J]. 岩石学报, 2014,

- 30 (3) : 727-736. [Yuan Haifeng, Liu Yong, Xu Fanghao, et al. The fluid charge and hydrocarbon accumulation, Sinian reservoir, Anpingdian-Gaoshti structure, central Sichuan Basin[J]. Acta Petrologica Sinica, 2014, 30(3): 727-736.]
- [19] 杨鹏, 袁海锋, 马奎, 等. 川中太和气区震旦系灯影组二段储层成岩流体演化及油气成藏史: 来自岩石学、原位地球化学、流体包裹体及年代学的证据[J]. 地质学报, 2023, 97(7) : 2332-2353. [Yang Peng, Yuan Haifeng, Ma Kui, et al. Diagenetic fluid evolution and hydrocarbon accumulation history of Second member of the Sinian Dengying Formation in the Taihe gas area, central Sichuan Basin: Evidence from petrology, in situ geochemistry, fluid inclusions and chronology[J]. Acta Geologica Sinica, 2023, 97(7): 2332-2353.]
- [20] 夏钦禹, 闫海军, 徐伟, 等. 川中地区磨溪区块震旦系顶面古岩溶微地貌及其发育特征[J]. 石油学报, 2021, 42 (10) : 1299-1309, 1336. [Xia Qinyu, Yan Haijun, Xu Wei, et al. Paleokarst microtopography of the Sinian top and its development characteristics in Moxi area, central Sichuan Basin[J]. Acta Petrolei Sinica, 2021, 42(10): 1299-1309, 1336.]
- [21] 徐少立, 马奎, 杨强, 等. 四川盆地蓬莱气区震旦系灯影组二段储层特征及其控制因素[J]. 特种油气藏, 2024, 31 (2) : 47-56. [Xu Shaoli, Ma Kui, Yang Qiang, et al. Reservoir characteristics of the second member of Sinian Dengying Formation in Penglai gas area of Sichuan Basin and their controlling factors[J]. Special Oil & Gas Reservoirs, 2024, 31(2): 47-56.]
- [22] 倪智勇, 赵建新, 傅月星, 等. 川中地区震旦系“葡萄花边”白云岩的形成时代与成因[J]. 岩石学报, 2024, 40 (1) : 282-294. [Ni Zhiyong, Zhao Jianxin, Feng Yuexing, et al. Age and origin of Sinian grape-lace shaped dolostone in central Sichuan Basin[J]. Acta Petrologica Sinica, 2024, 40(1): 282-294.]
- [23] 刘静江, 刘慧荣, 李文皓, 等. 四川盆地裂陷槽研究新进展: 关于裂陷槽成因机制与形成时间的探讨[J]. 地质论评, 2021, 67 (3) : 767-786. [Liu Jingjiang, Liu Huirong, Li Wenhao, et al. New progress in the study of aulacogen in Sichuan Basin: A discussion on the genetic mechanism and formation time of the aulacogen[J]. Geological Review, 2021, 67(3): 767-786.]
- [24] 刘珍, 刘鹏, 王鹏, 等. 德阳—安岳裂陷槽南段特征及成藏意义[C]//第二届中国石油勘探学术年会论文集 (中册). 武汉: 中国石油学会石油勘探专业委员会, 2024. [Liu Zhen, Liu Peng, Wang Peng, et al. Characteristics and hydrocarbon accumulation significance of the southern Deyang-Anyue intracratonic Sag[C]//Proceedings of the 2nd China petroleum geophysical exploration academic conference 2024. Wuhan: Petroleum Geophysical Exploration Professional Committee of China Petroleum Society, 2024.]
- [25] 黎荣, 王永骁, 汪泽成, 等. 四川盆地晚震旦世—早寒武世德阳—安岳裂陷槽南段地质特征[J]. 石油勘探与开发, 2023, 50 (2) : 285-296. [Li Rong, Wang Yongxiao, Wang Zecheng, et al. Geological characteristics of the southern segment of the Late Sinian-Early Cambrian Deyang-Anyue rift trough in Sichuan Basin, SW China[J]. Petroleum Exploration and Development, 2023, 50(2): 285-296.]
- [26] 罗冰, 周刚, 罗文军, 等. 川中古隆起下古生界—震旦系勘探发现与天然气富集规律[J]. 中国石油勘探, 2015, 20 (2) : 18-29. [Luo Bing, Zhou Gang, Luo Wenjun, et al. Discovery from exploration of Lower Paleozoic-Sinian system in central Sichuan palaeo-uplift and its natural gas abundance law[J]. China Petroleum Exploration, 2015, 20(2): 18-29.]
- [27] 马奎, 张本健, 徐少立, 等. 川中古隆起北斜坡灯四段天然气成藏特征[J]. 天然气地球科学, 2024, 35 (4) : 635-644. [Ma Kui, Zhang Benjian, Xu Shaoli, et al. Characteristics of natural gas accumulation in the northern slope of the Middle Sichuan paleo-uplift[J]. Natural Gas Geoscience, 2024, 35(4): 635-644.]
- [28] 林刚. 川中磨溪—高石梯地区震旦系灯影组白云岩成因及与储层的关系[D]. 西安: 西安石油大学, 2015: 1-68. [Lin Gang. Genesis of the Sinian Dengying Formation dolostone in the the Moxi-Gaoshti area, central Sichuan and its relationship with reservoir development[D]. Xi'an: Xi'an Shiyou University, 2015: 1-68.]
- [29] Feng M Y, Wu P C, Qiang Z T, et al. Hydrothermal dolomite reservoir in the Precambrian Dengying Formation of central Sichuan Basin, Southwestern China[J]. Marine and Petroleum Geology, 2017, 82: 206-219.
- [30] Gu Y F, Zhou L, Jiang Y Q, et al. A model of hydrothermal dolomite reservoir facies in Precambrian Dolomite, central Sichuan Basin, SW China and its geochemical characteristics[J]. Acta Geologica Sinica (English Edition), 2019, 93(1): 130-145.
- [31] Hu Y J, Cai C F, Liu D W, et al. Formation, diagenesis and palaeoenvironmental significance of Upper Ediacaran fibrous dolomite cements[J]. Sedimentology, 2020, 67(2): 1161-1187.
- [32] Su A, Chen H H, Feng Y X, et al. In situ U-Pb dating and geochemical characterization of multi-stage dolomite cementation in the

- Ediacaran Dengying Formation, central Sichuan Basin, China: Constraints on diagenetic, hydrothermal and paleo-oil filling events[J]. Precambrian Research, 2022, 368: 106481.
- [33] Li X, Zhu G Y, Zhang Z Y. Genesis of ultra-deep dolostone and controlling factors of large-scale reservoir: A case study of the Sinian Dengying Formation and the Cambrian Longwangmiao Formation in the Sichuan Basin[J]. Science China (Seri. D): Earth Sciences, 2024, 67(7): 2352-2382.
- [34] 王文之, 杨跃明, 张玺华, 等. 四川盆地震旦系灯影组储层特征及成因[J]. 东北石油大学学报, 2016, 40 (2) : 1-10. [Wang Wenzhi, Yang Yueming, Zhang Xihua, et al. Reservoir characteristics and genesis of the Sinian Dengying Formation in Sichuan Basin[J]. Journal of Northeast Petroleum University, 2016, 40(2): 1-10.]
- [35] Xu Z H, Lan C J, Zhang B J, et al. Impact of diagenesis on the microbial reservoirs of the terminal Ediacaran Dengying Formation from the central to northern Sichuan Basin, SW China[J]. Marine and Petroleum Geology, 2022, 146: 105924.
- [36] Li K K, Gong B R, Zhang X H, et al. A comparison of hydrothermal events and petroleum migration between Ediacaran and Lower Cambrian carbonates, central Sichuan Basin[J]. Marine and Petroleum Geology, 2023, 150: 106130.
- [37] 江娜. 川中高石梯~磨溪地区震旦系灯影组热液作用及其对储层的影响[D]. 成都: 西南石油大学, 2015: 1-70. [Jiang Na. Hydrothermal activity in the Dengying Formation (Sinian) of the Gaoshiti-Moxi area, central Sichuan, and its influence on reservoirs[D]. Chengdu: Southwest Petroleum University, 2015: 1-70.]
- [38] Ping H W, Deng W F, Chen H H, et al. Fluid inclusion calibration of clumped-isotope solid-state reordering in dolomite: Implication for thermal history reconstruction in deeply buried reservoirs[J]. Marine and Petroleum Geology, 2024, 163: 106773.
- [39] Ni Z Y, Zhao J X, Feng Y X, et al. Geochemical, isotopic, and U-Pb geochronological constraints on multiple dolomitization and petroleum charging events in Precambrian carbonate reservoirs in the Sichuan Basin, China[J]. Marine and Petroleum Geology, 2024, 165: 106908.
- [40] Wang J B, He Z L, Zhu D Y, et al. Petrological and geochemical characteristics of the botryoidal dolomite of Dengying Formation in the Yangtze Craton, South China: Constraints on terminal Ediacaran "dolomite seas"[J]. Sedimentary Geology, 2020, 406: 105722.
- [41] 刘树根, 马永生, 黄文明, 等. 四川盆地上震旦统灯影组储集层致密化过程研究[J]. 天然气地球科学, 2007, 18 (4) : 485-496. [Liu Shugen, Ma Yongsheng, Huang Wenming, et al. Densification process of Upper Sinian Dengying Formation, Sichuan Basin[J]. Natural Gas Geoscience, 2007, 18(4): 485-496.]
- [42] 沈安江, 胡安平, 程婷, 等. 激光原位 U-Pb 同位素定年技术及其在碳酸盐岩成岩—孔隙演化中的应用[J]. 石油勘探与开发, 2019, 46 (6) : 1062-1074. [Shen Anjiang, Hu Anping, Cheng Ting, et al. Laser ablation in situ U-Pb dating and its application to diagenesis-porosity evolution of carbonate reservoirs[J]. Petroleum Exploration and Development, 2019, 46(6): 1062-1074.]
- [43] 胡安平, 沈安江, 陈亚娜, 等. 基于 U-Pb 同位素年龄和团簇同位素 (Δ_{47}) 温度约束的四川盆地震旦系灯影组构造—埋藏史重建[J]. 石油实验地质, 2021, 43 (5) : 896-905, 914. [Hu Anping, Shen Anjiang, Chen Yana, et al. Reconstruction of tectonic-burial evolution history of Sinian Dengying Formation in Sichuan Basin based on the constraints of in-situ laser ablation U-Pb date and clumped isotopic thermometer (Δ_{47})[J]. Petroleum Geology & Experiment, 2021, 43(5): 896-905, 914.]
- [44] Jiang L, Shen A J, Wang Z C, et al. U-Pb geochronology and clumped isotope thermometry study of Neoproterozoic dolomites from China[J]. Sedimentology, 2022, 69(7): 2925-2945.
- [45] 谷一凡, 王岩松, 周刚, 等. 川中灯影组古岩溶储层成岩序列及成储—成藏效应[J]. 沉积学报, 2024, 42 (6) : 2088-2101. [Gu Yifan, Wang Yansong, Zhou Gang, et al. Reservoir-forming accumulation effect of paleokarst reservoirs in the Dengying Formation, central Sichuan Basin[J]. Acta Sedimentologica Sinica, 2024, 42(6): 2088-2101.]
- [46] 沈安江, 罗宪婴, 胡安平, 等. 从准同生到埋藏环境的白云石化路径及其成储效应[J]. 石油勘探与开发, 2022, 49 (4) : 637-647. [Shen Anjiang, Luo Xianying, Hu Anping, et al. Dolomitization evolution and its effects on hydrocarbon reservoir formation from penecontemporaneous to deep burial environment[J]. Petroleum Exploration and Development, 2022, 49(4): 637-647.]
- [47] 鲁雪松, 桂丽黎, 汪泽成, 等. 四川盆地中部走滑断裂活动时间与控藏作用: 来自断裂带胶结物 U-Pb 定年和流体包裹体的证据[J]. 石油学报, 2024, 45 (4) : 642-658. [Lu Xuesong, Gui Lili, Wang Zecheng, et al. Activity time of strike-slip faults and

- their controlling effects on hydrocarbon accumulation in central Sichuan Basin: Evidence from U-Pb dating and fluid inclusions of cements in fault zone[J]. *Acta Petrolei Sinica*, 2024, 45(4): 642-658.]
- [48] Zheng J, Wen L, Ge Y H, et al. U-Pb dating of fibrous dolomite in the hydrothermal dolostone of the Dengying Formation, central Sichuan Basin, and its response to supercontinent breakup[J]. *Minerals*, 2023, 13(10): 1353.
- [49] Luo T, Guo X W, He Z L, et al. Determination of multistage oil charge processes in the Ediacaran Dengying gas reservoirs of the southwestern Sichuan Basin, SW China[J]. *Marine and Petroleum Geology*, 2024, 164: 106853.
- [50] Huang Y H, Luo T, Tao Z, et al. Fluid evolution and petroleum accumulation in the Precambrian gas reservoirs of the Sichuan Basin, SW China[J]. *Marine and Petroleum Geology*, 2023, 150: 106171.
- [51] 邓宾, 田腾振, 李泽奇, 等. 米仓山震旦系灯影组流体充注特征及油气成藏过程[J]. 中国石油勘探, 2024, 29 (2) : 98-111.
[Deng Bin, Tian Tengzhen, Li Zeqi, et al. Fluid charging characteristics and hydrocarbon accumulation process in the Sinian Dengying Formation in Micangshan area[J]. *China Petroleum Exploration*, 2024, 29(2): 98-111.]
- [52] 彭瀚霖. 川西南—川中地区上震旦统灯影组储层特征研究[D]. 成都: 成都理工大学, 2014: 1-122. [Peng Hanlin. The characteristics of the Upper Sinian Dengying Formation reservoir rocks in the southwestern to central Sichuan Basin[D]. Chengdu: Chengdu University of Technology, 2014: 1-122.]
- [53] 唐玄. 川西南地区震旦系灯影组微生物碳酸盐岩储层特征研究[D]. 成都: 成都理工大学, 2018: 1-82. [Tang Xuan. Characteristics of microbialite reservoir of Sinian Dengying Formation in the southwestern Sichuan Basin[D]. Chengdu: Chengdu University of Technology, 2018: 1-82.]
- [54] 贾晓兰. 蜀南宜宾西部地区震旦系灯影组储层特征及其控制因素[D]. 北京: 中国石油大学(北京), 2020: 1-70. [Jia Xiaolan. Reservoir characteristics and controlling factors of the Sinian Dengying Formation in western Yibin area, Sichuan Basin[D]. Beijing: China University of Petroleum (Beijing), 2020: 1-70.]
- [55] 王炳森, 袁海锋, 王涛, 等. 川中蓬莱地区震旦系灯影组四段储层成岩作用、孔隙演化及油气充注[J]. 沉积学报, doi: 10.14027/j.issn.1000-0550.2024.012. [Wang Bingsen, Yuan Haifeng, Wang Tao, et al. Reservoir diagenesis, pore evolution and oil and gas charging in the Fourth member of the Sinian Dengying Formation in the Penglai area, central Sichuan[J]. *Acta Sedimentologica Sinica*, doi: 10.14027/j.issn.1000-0550.2024.012.]
- [56] Su A, Chen H H, Feng Y X, et al. Paleo fluid system change from deep burial to exhumation of the Precambrian petroleum reservoirs in the Sichuan Basin, China: Evidence from P-T-X records[J]. *Marine and Petroleum Geology*, 2023, 155: 106404.
- [57] 周进高, 姚根顺, 杨光, 等. 四川盆地安岳大气田震旦系—寒武系储层的发育机制[J]. 天然气工业, 2015, 35 (1) : 36-44.
[Zhou Jin'gao, Yao Genshun, Yang Guang, et al. Genesis mechanism of the Sinian-Cambrian Reservoirs in the Anyue Gas Field, Sichuan Basin[J]. *Natural Gas Industry*, 2015, 35(1): 36-44.]
- [58] 莫静, 王兴志, 谢林, 等. 川中震旦系灯影组碳酸盐岩成岩作用及储层孔隙演化[J]. 石油天然气学报, 2013, 35 (8) : 32-38.
[Mo Jing, Wang Xingzhi, Xie Lin, et al. Diagenesis and pore evolution of carbonate in Sinian Dengying Formation in central Sichuan province[J]. *Journal of Oil and Gas Technology*, 2013, 35(8): 32-38.]
- [59] Han Z Z, Dai S R, Zhang Y J, et al. Microbially induced fabrics in the Upper Ediacaran coated grain dolostone, Northeast Sichuan Basin, SW China: Implications for reconstruction of the paleoceanic environment[J]. *Sedimentary Geology*, 2024, 467: 106653.
- [60] 李文奇, 刘汇川, 李平平, 等. 四川灯影组白云石化流体多样化特征及白云岩差异性成因[J]. 地球科学, 2023, 48 (9) : 3360-3377. [Li Wenqi, Liu Huichuan, Li Pingping, et al. Diverse fluids in dolomitization and petrogenesis of the Dengying Formation dolomite in the Sichuan Basin, SW China[J]. *Earth Science*, 2023, 48(9): 3360-3377.]
- [61] Lin X X, Peng J, Du L C, et al. Characterization of the microbial dolomite of the Upper Sinian Dengying Formation in the Hanyuan area of Sichuan province, China[J]. *Acta Geologica Sinica (English Edition)*, 2017, 91(3): 806-821.
- [62] Hu Y J, Cai C F, Pederson C L, et al. Dolomitization history and porosity evolution of a giant, deeply buried Ediacaran gas field (Sichuan Basin, China)[J]. *Precambrian Research*, 2020, 338: 105595.
- [63] Zhou Y, Yang F L, Ji Y L, et al. Characteristics and controlling factors of dolomite karst reservoirs of the Sinian Dengying Formation, central Sichuan Basin, southwestern China[J]. *Precambrian Research*, 2020, 343: 105708.
- [64] 聂晶, 周刚, 张亚, 等. 川中古隆起北斜坡灯影组二段储层成岩流体演化及成储效应[J]. 地质学报, 2025, 99 (3) : 879-896.

- [Nie Jing, Zhou Gang, Zhang Ya, et al. Diagenetic fluid evolution and reservoir formation effect of the second member of Dengying Formation in the northern slope of central Sichuan paleo-uplift[J]. *Acta Geologica Sinica*, 2025, 99(3): 879-896.]
- [65] Yan R J, Xu G S, Xu F H, et al. The multistage dissolution characteristics and their influence on mound-shoal complex reservoirs from the Sinian Dengying Formation, southeastern Sichuan Basin, China[J]. *Marine and Petroleum Geology*, 2022, 139: 105596.
- [66] Zhang Z L, Zhao L Z, Zhang D W, et al. Diagenetic evolution and cementation mechanism in deep Carbonate reservoirs: A case study of Dengying Fm. 2 in Penglai, Sichuan Basin, China[J]. *Marine and Petroleum Geology*, 2024, 170: 107084.
- [67] 邓宾, 吴娟, 李文正, 等. 烃类包裹体赋存碳酸盐矿物 U-Pb 定年及其在油气成藏期次研究中的应用: 以川中震旦系灯影组为例[J]. 天然气地球科学, 2023, 34 (11) : 1887-1898. [Deng Bin, Wu Juan, Li Wenzheng, et al. U-Pb dating and trapped hydrocarbon inclusions in carbonate for petroleum accumulation: Case study from the Sinian Dengying Formation in the central Sichuan Basin[J]. *Natural Gas Geoscience*, 2023, 34(11): 1887-1898.]
- [68] 黄文明. 四川盆地震旦系储层特征及其形成机制研究[D]. 成都: 成都理工大学, 2008: 1-127. [Huang Wenming. Study on the characteristics and formation mechanism of Sinian reservoirs in Sichuan Basin[D]. Chengdu: Chengdu University of Technology, 2008: 1-127.]
- [69] Li Y, Zhang B J, Zhou G, et al. Lithofacies and diagenetic controls on thrombolitic dolomite reservoir development from the Precambrian Dengying Formation in the central Sichuan Basin, SW China[J]. *Frontiers in Earth Science*, 2024, 12: 1407400.
- [70] 李茜, 朱光有, 张志遥. 超深层白云岩成因与规模储层控制因素: 以四川盆地震旦系灯影组和寒武系龙王庙组为例[J]. 中国科学(D辑): 地球科学, 2024, 54(7) : 2389-2418. [Li Xi, Zhu Guangyou, Zhang Zhiyao, et al. Genesis of ultra-deep dolostone and controlling factors of large-scale reservoir: A case study of the Sinian Dengying Formation and the Cambrian Longwangmiao Formation in the Sichuan Basin[J]. *Science China (Seri. D): Earth Sciences*, 2024, 57(7): 2389-2418.]
- [71] Zhang C, Wen H G, Wang X, et al. Formational stages of natural fractures revealed by U-Pb dating and C-O-Sr-Nd isotopes of dolomites in the Ediacaran Dengying Formation, Sichuan Basin, southwest China[J]. *GSA Bulletin*, 2024, 136(11/12): 4671-4688.
- [72] Ding Y, Chen D Z, Zhou X Q, et al. Cavity-filling dolomite speleothems and submarine cements in the Ediacaran Dengying microbialites, South China: Responses to high-frequency sea-level fluctuations in an 'aragonite-dolomite sea'[J]. *Sedimentology*, 2019, 66(6): 2511-2537.
- [73] 杨威, 魏国齐, 谢武仁, 等. 克拉通内裂陷边缘台缘丘滩体规模储层发育主控因素与成因模式: 以四川盆地德阳—安岳克拉通内裂陷东侧灯影组四段为例[J]. 天然气地球科学, 2022, 33 (10) : 1541-1553. [Yang Wei, Wei Guoqi, Xie Wuren, et al. Main controlling factors and genetic mechanism for the development of high-quality reservoirs in the mound-shoal complexes on the platform margin mound-beach body at platform margin of the inner cratonic rift: Case study of the fourth member of Dengying Formation in the east side of the Deyang-Anyue cratonic rifts, Sichuan Basin[J]. *Natural Gas Geoscience*, 2022, 33(10): 1541-1553.]
- [74] 李凌, 邓禹, 张新宇, 等. 川中蓬莱—高磨地区震旦系灯二段泡沫绵层白云岩成因及地质意义[J]. 岩性油气藏, 2025, 37 (2) : 60-69. [Li Ling, Deng Yu, Zhang Xinyu, et al. Genesis and geological significance of foam-spongy dolomite in the second member of Sinian Dengying Formation in Penglai-Gaomo area, central Sichuan[J]. *Lithologic Reservoirs*, 2025, 37(2): 60-69.]
- [75] 翟秀芬, 汪泽成, 罗平, 等. 四川盆地高石梯东部地区震旦系灯影组微生物白云岩储层特征及成因[J]. 天然气地球科学, 2017, 28 (8) : 1199-1210. [Zhai Xiufen, Wang Zecheng, Luo Ping, et al. Characteristics and origin of microbial dolomite reservoirs in Upper Sinian Deingying Formation, eastern Gaoshiti area, Sichuan Basin, SW China[J]. *Natural Gas Geoscience*, 2017, 28(8): 1199-1210.]
- [76] 杨威, 魏国齐, 赵蓉蓉, 等. 四川盆地震旦系灯影组岩溶储层特征及分布[J]. 天然气工业, 2014, 34 (3) : 55-60. [Yang Wei, Wei Guoqi, Zhao Rongrong, et al. Characteristics and distribution of karst reservoirs in the Sinian Dengying Fm, Sichuan Basin[J]. *Natural Gas Industry*, 2014, 34(3): 55-60.]
- [77] 杨磊磊, 魏国, 于志超, 等. 四川盆地灯影组多类型流体多期次改造作用下孔隙度演化的定量研究[J]. 中国石油大学学报(自然科学版), 2024, 48 (3) : 15-26. [Yang Leilei, Wei Guo, Yu Zhichao, et al. Quantitative study on porosity evolution under multi-stage reformation of multi-type fluids in Dengying Formation, Sichuan Basin[J]. *Journal of China University of Petroleum (Edition of Natural Science)*, 2024, 48(3): 15-26.]

- [78] Chen Y, Shen A J, Pan L Y, et al. Features, origin and distribution of microbial dolomite reservoirs: A case study of 4th member of Sinian Dengying Formation in Sichuan Basin, SW China[J]. Petroleum Exploration and Development, 2017, 44(5): 745-757.
- [79] McArthur J M, Howarth R J, Shields G A, et al. Chapter 7 Strontium isotope stratigraphy[J]. Geologic Time Scale 2020, 2020, 1: 211-238.
- [80] Liu S G, Deng B, Li Z Q, et al. The Qiongzhusi-Dengying petroleum system in the Sichuan Basin, China[J]. AAPG Bulletin, 2024, 108(4): 663-689.
- [81] Luo J, Wang F R, He S, et al. Characteristics of vein-forming fluids in the Sinian Dengying Formation reservoir and its relationship with the hydrocarbon accumulation process in the southwest and southeast of the Sichuan Basin[J]. Minerals, 2022, 12(4): 443.
- [82] Jiang L, Hu A P, Ou Y L, et al. Diagenetic evolution and effects on reservoir development of the Dengying and Longwangmiao Formations, central Sichuan Basin, Southwestern China[J]. Petroleum Science, 2023, 20(6): 3379-3393.
- [83] Cramer B D, Jarvis I. Chapter 11 Carbon isotope stratigraphy[J]. Geologic Time Scale 2020, 2020, 1: 309-343.
- [84] Xiao S H, Narbonne G M. Chapter 18 - The Ediacaran Period[J]. Geologic Time Scale 2020, 2020, 1: 521-561.
- [85] Robert F, Chaussidon M. A palaeotemperature curve for the Precambrian oceans based on silicon isotopes in cherts[J]. Nature, 2006, 443(7114): 969-972.
- [86] Meng F W, Ni P, Schiffbauer J D, et al. Ediacaran seawater temperature: Evidence from inclusions of Sinian halite[J]. Precambrian Research, 2011, 184(1/2/3/4): 63-69.
- [87] Müller I A, Rodriguez-Blanco J D, Stork J C, et al. Calibration of the oxygen and clumped isotope thermometers for (proto-)dolomite based on synthetic and natural carbonates[J]. Chemical Geology, 2019, 525: 1-17.
- [88] Galili N, Shemesh A, Yam R, et al. The geologic history of seawater oxygen isotopes from marine iron oxides[J]. Science, 2019, 365(6452): 469-473.
- [89] Henkes G A, Passey B H, Grossman E L, et al. Temperature evolution and the oxygen isotope composition of Phanerozoic oceans from carbonate clumped isotope thermometry[J]. Earth and Planetary Science Letters, 2018, 490: 40-50.
- [90] Gu Z D, Jiang H, Fu L, et al. Ediacaran stratigraphy and paleogeography in the north Yangtze Block, South China[J]. Sedimentary Geology, 2023, 444: 106314.
- [91] Gat J R. Oxygen and hydrogen isotopes in the hydrologic cycle[J]. Annual Review of Earth and Planetary Sciences, 1996, 24(1): 225-262.
- [92] Lloyd R M. Oxygen isotope enrichment of sea water by evaporation[J]. Geochimica et Cosmochimica Acta, 1966, 30(8): 801-814.
- [93] 宗蒙, 罗靖茹, 陈家乐, 等. 前寒武系海相白云石胶结物研究现状及展望[J]. 古地理学报, 2025, 27(1): 85-108. [Ning Meng, Luo Jingru, Chen Jiale, et al. Precambrian marine dolomite cements: Review and perspectives[J]. Journal of Palaeogeography (Chinese Edition), 2025, 27(1): 85-108.]
- [94] 鲁鹏达, 李泽奇, 田腾振, 等. 四川盆地震旦系灯影组二段葡萄—花边结构成因及其对储层控制作用[J]. 地学前缘, 2023, 30 (6) : 14-31. [Lu Pengda, Li Zeqi, Tian Tengzhen, et al. The botryoidal-lace texture and its role in dolomite reservoir control in the 2nd member, Sinian Dengying Formation in Sichuan Basin[J]. Earth Science Frontiers, 2023, 30(6): 14-31.]
- [95] Zhao D F, Tan X C, Hu G, et al. Characteristics and primary mineralogy of fibrous marine dolomite cements in the end-Ediacaran Dengying Formation, South China: Implications for aragonite-dolomite seas[J]. Palaeogeography, Palaeoclimatology, Palaeoecology, 2021, 581: 110635.
- [96] 李皎, 何登发. 四川盆地及邻区寒武纪古地理与构造—沉积环境演化[J]. 古地理学报, 2014, 16 (4) : 441-460. [Li Jiao, He Dengfa. Palaeogeography and tectonic-depositional environment evolution of the Cambrian in Sichuan Basin and adjacent areas[J]. Journal of Palaeogeography, 2014, 16(4): 441-460.]
- [97] 许海龙, 魏国齐, 贾承造, 等. 乐山—龙女寺古隆起构造演化及对震旦系成藏的控制[J]. 石油勘探与开发, 2012, 39 (4) : 406-416. [Xu Hailong, Wei Guoqi, Jia Chengzao, et al. Tectonic evolution of the Leshan-Longnusi paleo-uplift and its control on gas accumulation in the Sinian strata, Sichuan Basin[J]. Petroleum Exploration and Development, 2012, 39(4): 406-416.]
- [98] 梅庆华, 何登发, 文竹, 等. 四川盆地乐山—龙女寺古隆起地质结构及构造演化[J]. 石油学报, 2014, 35 (1) : 11-25. [Mei Qinghua, He Dengfa, Wen Zhu, et al. Geologic structure and tectonic evolution of Leshan-Longnusi paleo-uplift in Sichuan Basin,

- China[J]. Acta Petrolei Sinica, 2014, 35(1): 11-25.]
- [99] 马永生, 陈洪德, 王国力. 中国南方构造一层序岩相古地理图集: 震旦记—新近纪[M]. 北京: 科学出版社, 2009: 1-301. [Ma Yongsheng, Chen Hongde, Wang Guoli. Tectono-sequence lithofacies paleogeographic atlas of southern China: Sinian to Neogene[M]. Beijing: Science Press, 2009: 1-301.]
- [100] Chen J X, Kuang X X, Zheng C M. An empirical porosity-depth model for Earth's crust[J]. Hydrogeology Journal, 2020, 28(7): 2331-2339.
- [101] Croizé D, Renard F, Gratier J P, Chapter 3 - Compaction and porosity reduction in carbonates: A review of observations, theory, and experiments[J]. Advances in Geophysics, 2013, 54: 181-238.
- [102] Aschwanden L, Diamond L W, Adams A. Effects of progressive burial on matrix porosity and permeability of dolostones in the foreland Basin of the Alpine Orogen, Switzerland[J]. Marine and Petroleum Geology, 2019, 100: 148-164.
- [103] Moore C H, Wade W J. Chapter 4 - The nature and classification of carbonate porosity[J]. Developments in Sedimentology, 2013, 67: 51-65.
- [104] Ehrenberg S N, Eberli G P, Keramati M, et al. Porosity-permeability relationships in interlayered limestone-dolostone reservoirs[J]. AAPG Bulletin, 2006, 90(1): 91-114.
- [105] 张玺华, 李勇, 张本健, 等. 四川盆地中江—蓬莱地区灯二段储层特征及优质储层成因机制[J]. 成都理工大学学报(自然科学版), 2023, 50(3): 301-312. [Zhang Xihua, Li Yong, Zhang Benjian, et al. Characteristics and formation mechanism of high quality reservoir of the second member of the Dengying Formation in Zhongjiang-Penglai area, Sichuan Basin, China[J]. Journal of Chengdu University of Technology (Science & Technology Edition), 2023, 50(3): 301-312.]

Multiphase Saline Diagenetic Fluid Activity in the Dengying Formation of the Central Sichuan Paleo-Uplift: Implications for reservoir development

WEN HuaGuo^{1,2,3}, LUO LianChao^{1,2,3}, DING Yi^{1,2,3}, ZHANG Chen^{1,2,3}

1. State Key Laboratory of Oil & Gas Reservoir Geology and Exploitation (Chengdu University of Technology), Chengdu 610059, China

2. Key Laboratory of Deep-Time Geography and Environment Reconstruction and Applications of Ministry of Natural Resources (Chengdu University of Technology), Chengdu 610059, China

3. Institute of Sedimentary Geology, Chengdu University of Technology, Chengdu 610059, China

Abstract: [Objective] Pore fluids, particularly saline pore fluids, are widespread in sedimentary basins; however, their characteristics undergo substantial changes throughout the burial process. Such change has a significant influence on the formation and modification of deep to ultra-deep petroleum reservoirs; thus, determining the variations of saline pore fluids during burial can help identify the formation mechanisms of these reservoirs.

[Methods] The Dengying Formation of the central Sichuan paleo-uplift was studied. By integrating the $\delta^{13}\text{C}$, $\delta^{18}\text{O}$, $^{87}\text{Sr}/^{86}\text{Sr}$, clumped isotopes, and U-Pb age data of the main products formed by saline fluid activity, the genesis of these products, their fluid-charging sequences, and the influence of saline fluid activity on reservoir development were investigated. [Results and Discussions] The results show that the Dengying Formation was characterized by the development of five product types associated with saline fluid activity: matrix dolomite (D1), fibrous or micrite to very fine-crystalline dolomite rim (D2), leaf or fine-crystalline dolomite (D3), medium to coarse crystalline dolomite (D4), and saddle or mega-crystalline dolomite (D5). These five types of dolomite

display differences in $\delta^{13}\text{C}$, $\delta^{18}\text{O}$, $^{87}\text{Sr}/^{86}\text{Sr}$, T(δ_{47}), and U-Pb ages, corresponding to five phases of saline diagenetic fluid activity. [Conclusions] A comprehensive investigation shows that the general diagenetic sequence of these dolomite is as follows: (1) D1 formed by seawater dolomitization, (2) D2 generated by the reflux dolomitization of (evaporated) seawater, (3) D3 originated via the dissolution of early-formed D1 and D2 followed by reprecipitation, (4) D4 precipitated from the mixing of formation waters and hydrothermal fluids, and (5) D5 formed from by the influx of deep-sourced ^{87}Sr -rich hydrothermal fluids. Early-stage saline diagenetic fluid activity (i.e., 1st and 2nd stages) enhances the ability of reservoir rocks to resist physicochemical compaction, favoring reservoir formation; conversely, late-stage saline diagenetic fluid activity (i.e., the later three stages) degrades petrophysical properties by precipitating abundant dolomite cements within void spaces. Therefore, saline diagenetic fluid activity controls the evolution of reservoirs through two-phase differential diagenesis. These findings may provide guidance for the petroleum exploration in deep to ultra-deep carbonate formations.

Key words: diagenetic fluids; diagenetic evolution; dolomite; reservoir formation; deep to ultra-deep petroleum reservoirs

